

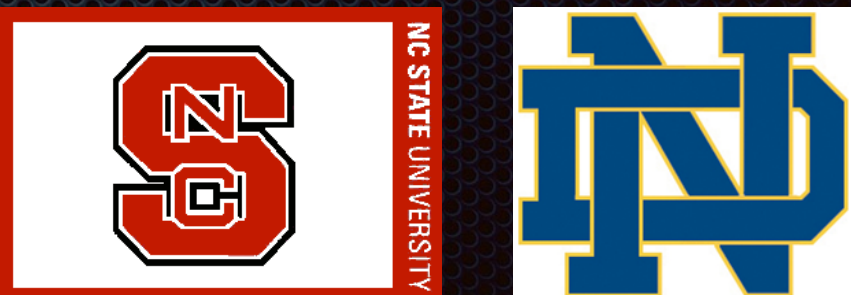


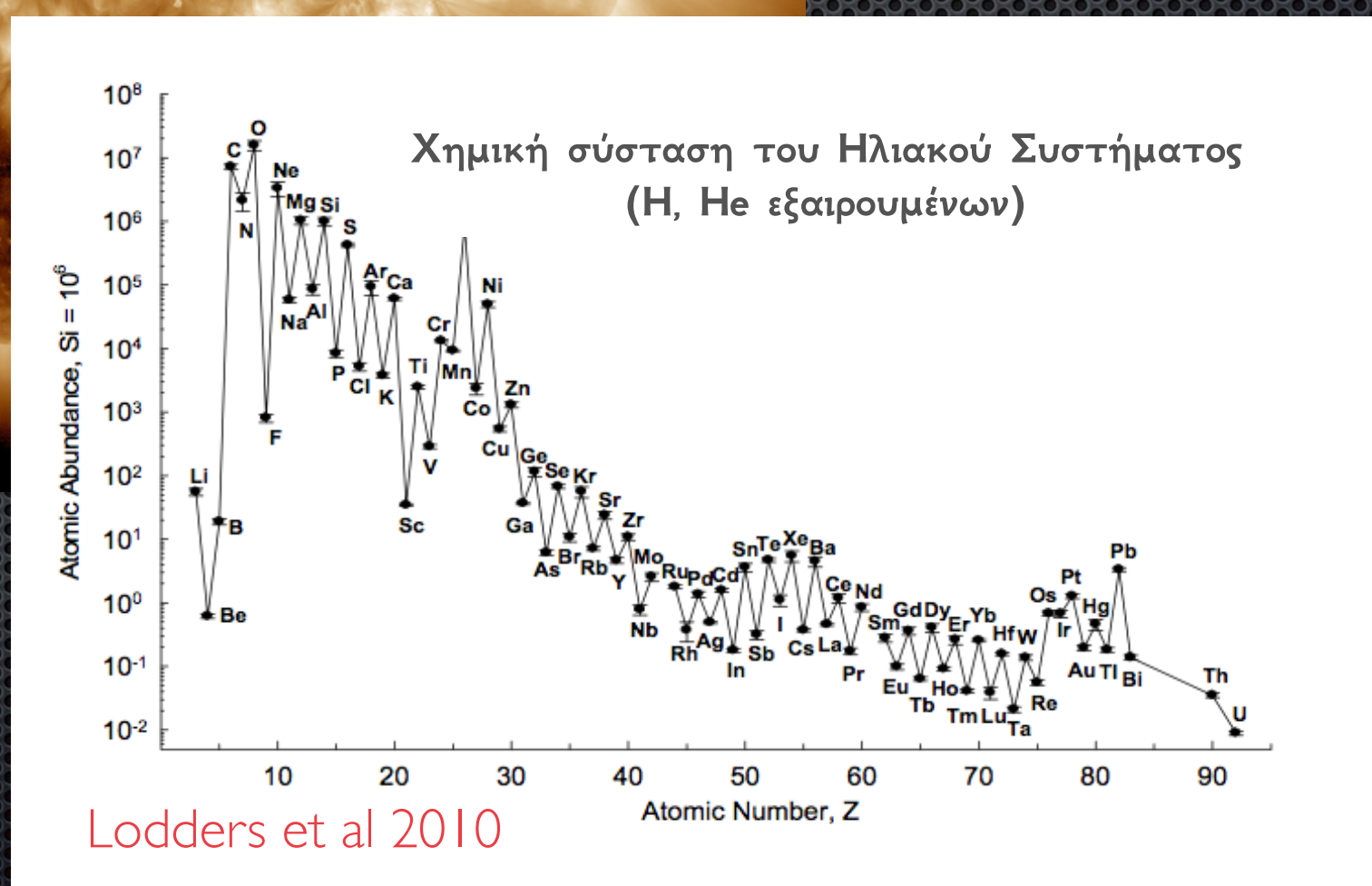
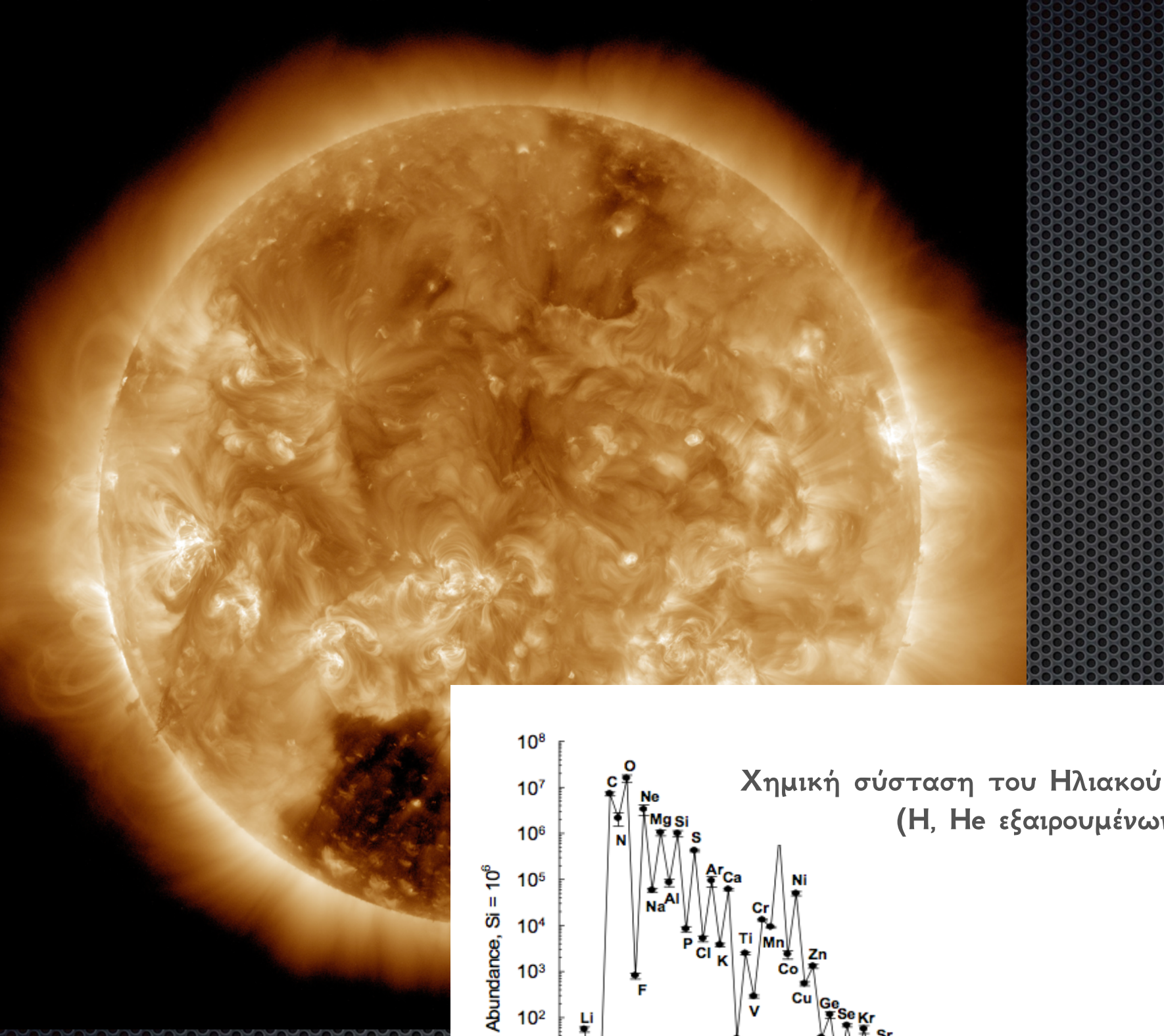
U.S. DEPARTMENT OF
ENERGY

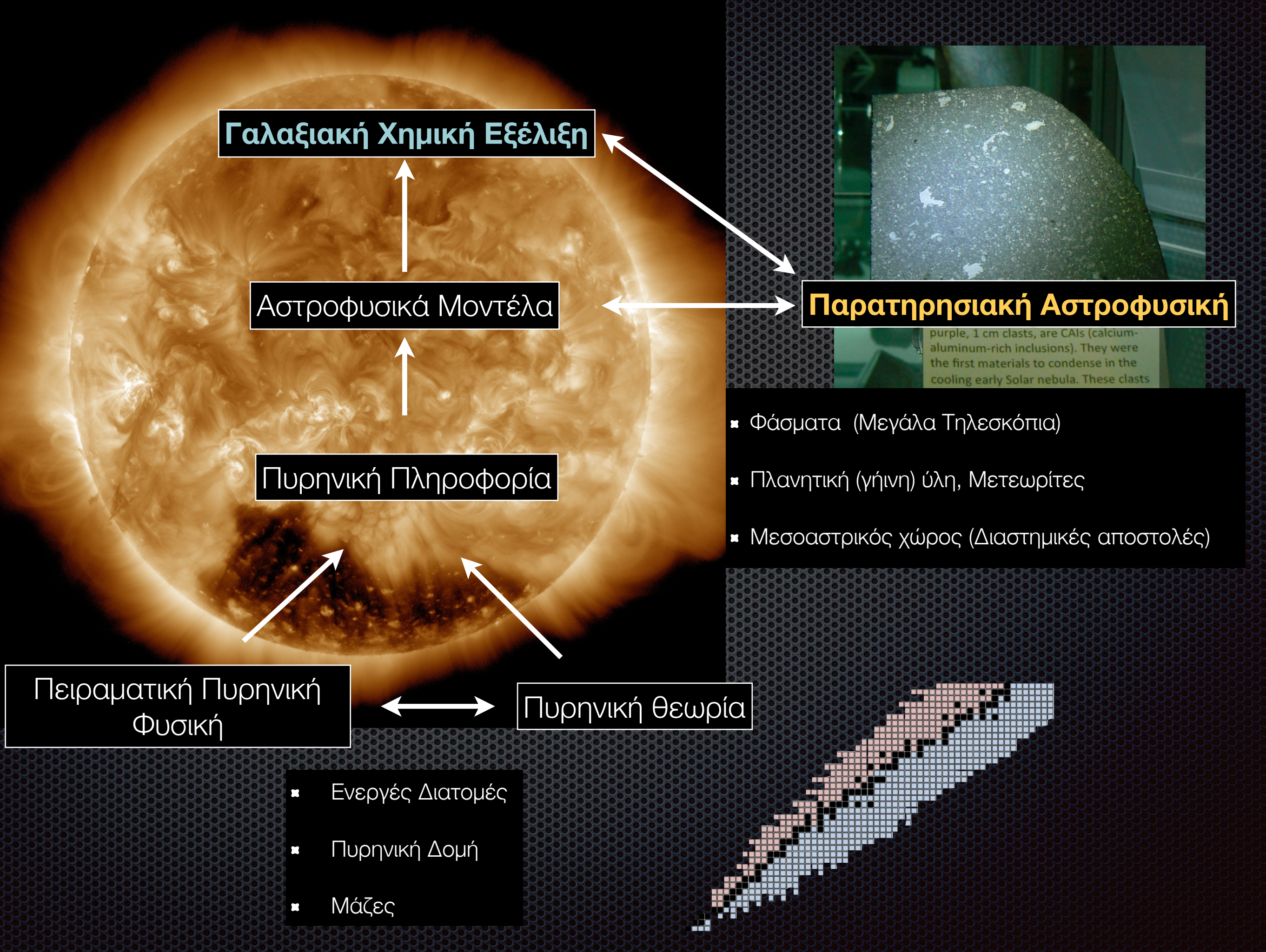
Office of
Science

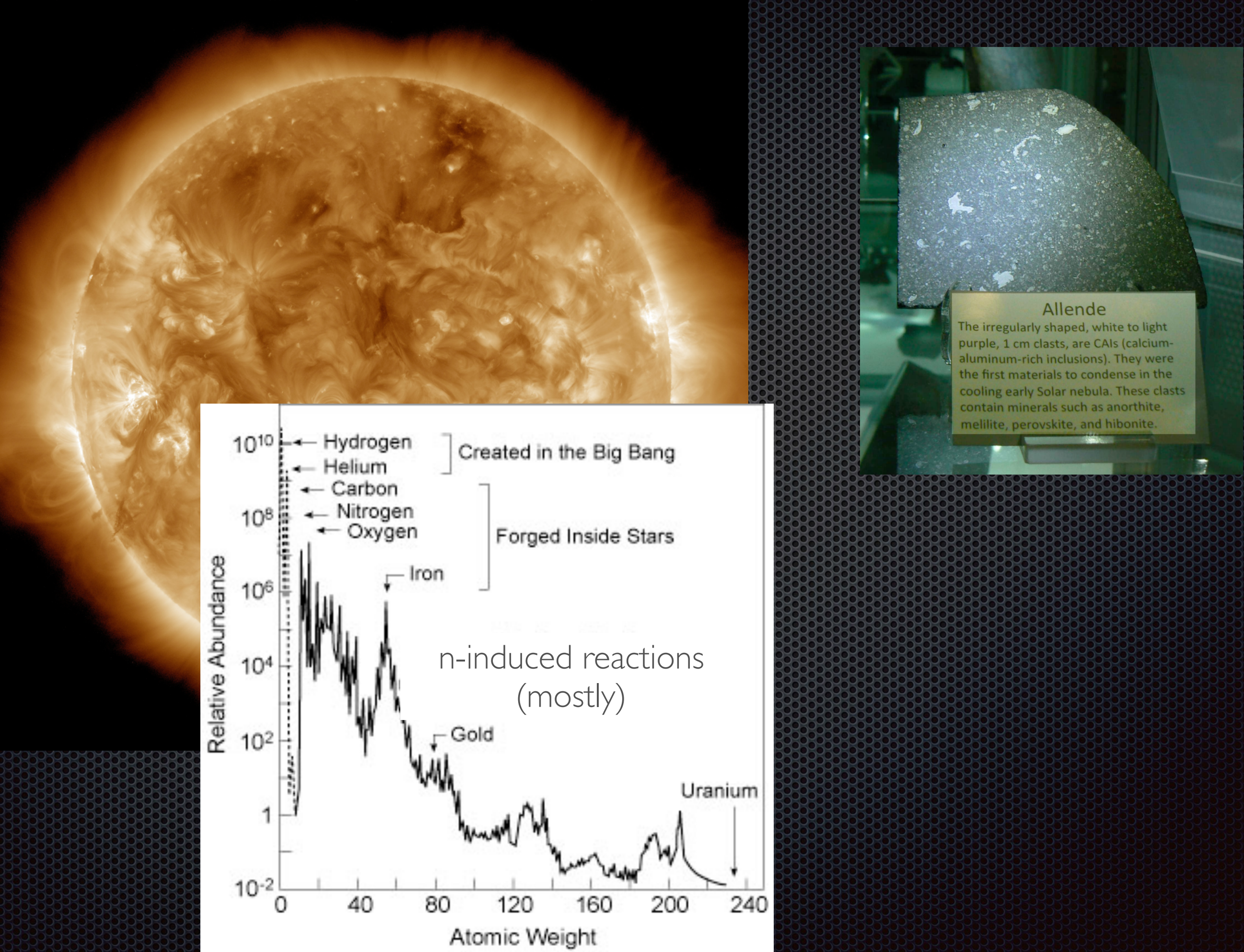
Βίαιοι θάνατοι, εκρηκτικές γεννήσεις και πυρηνικές αντιδράσεις στα άστρα. Ανοιχτά ερωτήματα για την προέλευση των βαρέων στοιχείων

Γ. Περδικάκης, Central Michigan University





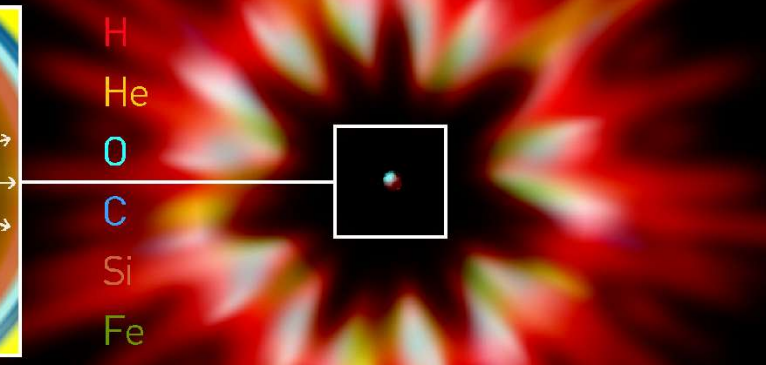
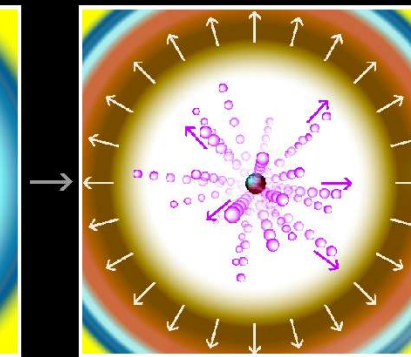
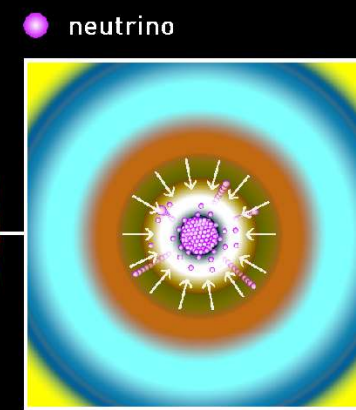
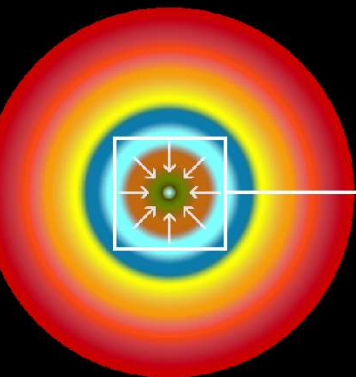
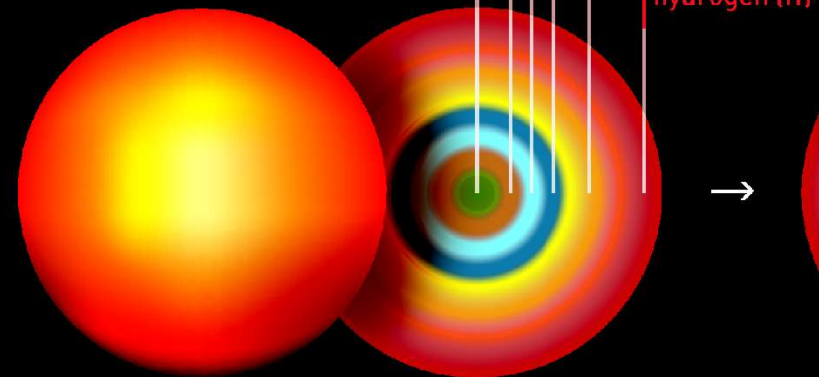




dominant elements:

- iron (Fe)
- silicon (Si)
- oxygen (O)
- carbon (C)
- helium (He)
- hydrogen (H)

Type II Supernova



Μαζικός Αστέρας

Υπέρ: Παρατηρήσιμο, συχνό φαινόμενο

Κατάρρευση

Αναπήδηση

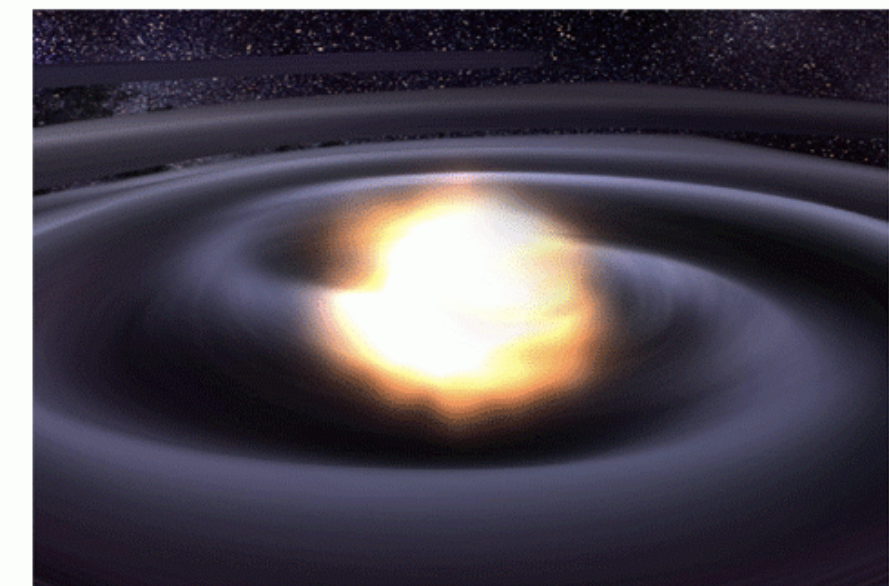
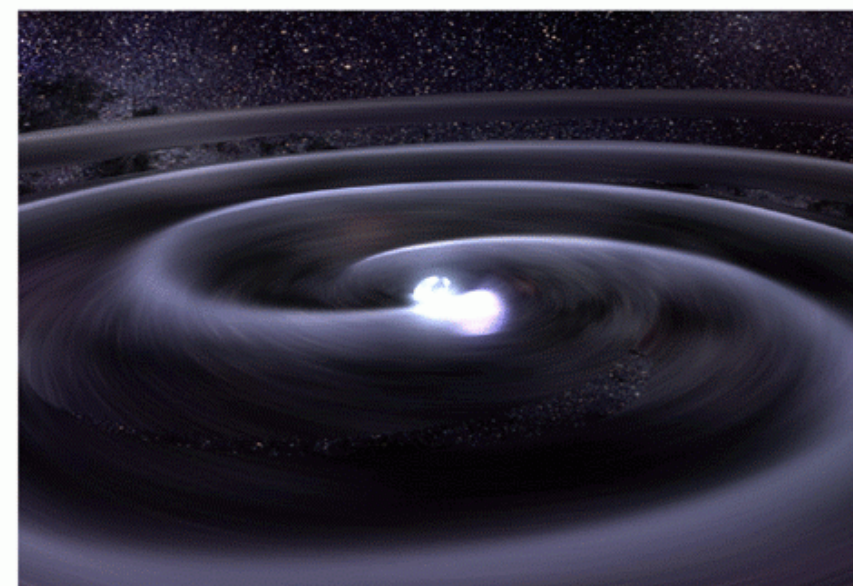
Κατα: Ανεπιτυχή μοντέλα,
Πιθανόν ανεπαρκείς συνθήκες

'Εκρηξη

Αστρικός Άνεμος

Νετρίνων

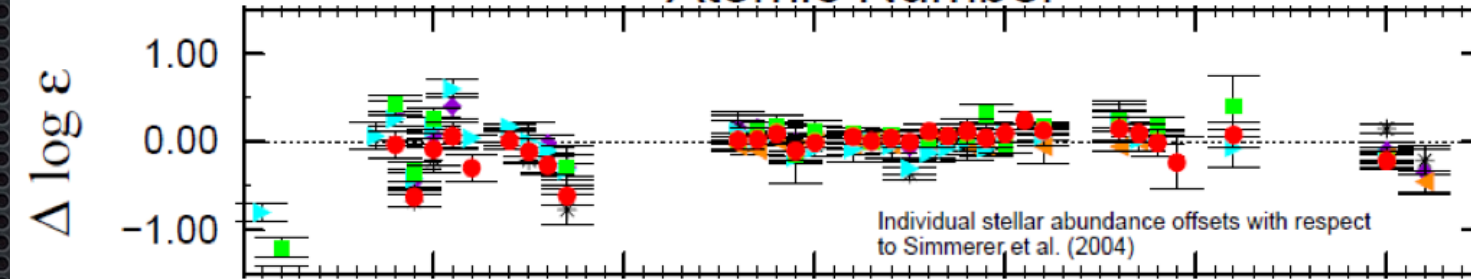
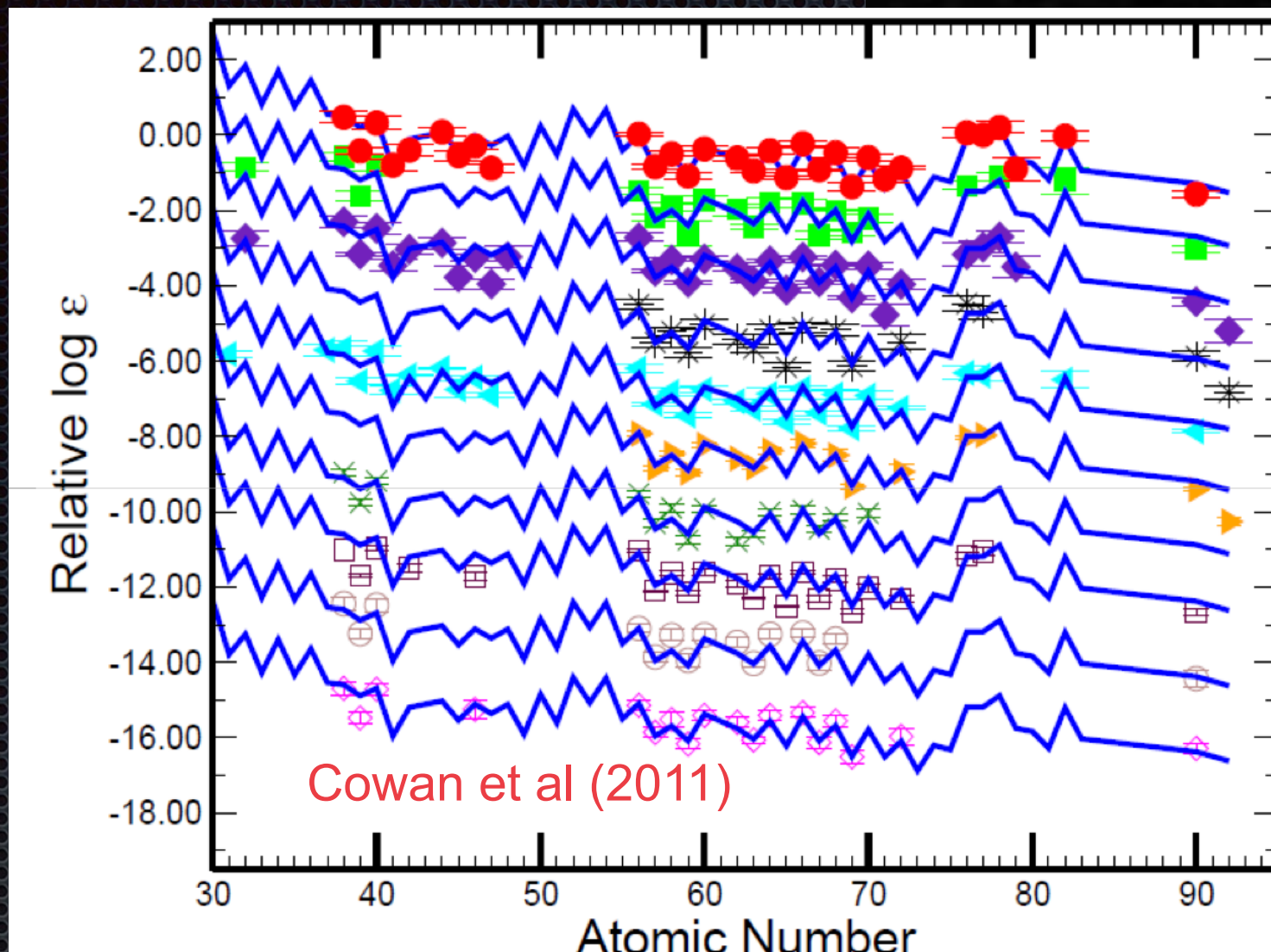
Neutron Star Merger



Υπέρ: Ιδανικές συνθήκες

Κατα: Δεν έχουμε ακόμα αδιαμφορήτη παρατήρηση, σπάνιο φαινόμενο

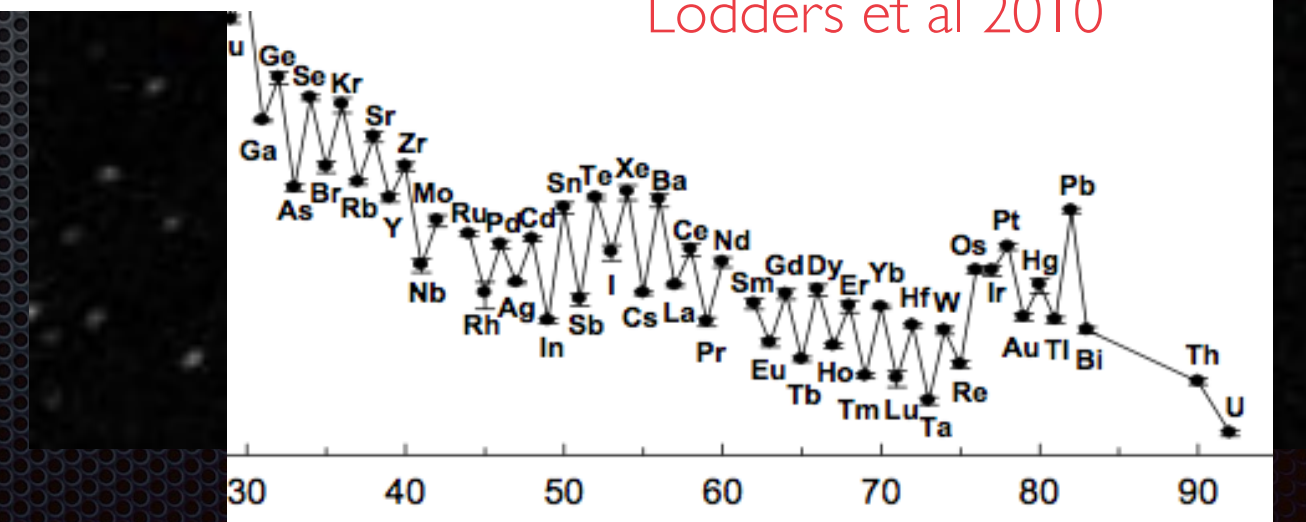
ΑΣΤΡΙΚΗ ΑΡΧΑΙΟΛΟΓΙΑ - ΜΕΛΕΤΩΝΤΑΣ ΤΑ ΠΑΛΑΙΟΤΕΡΑ ΑΣΤΡΑ



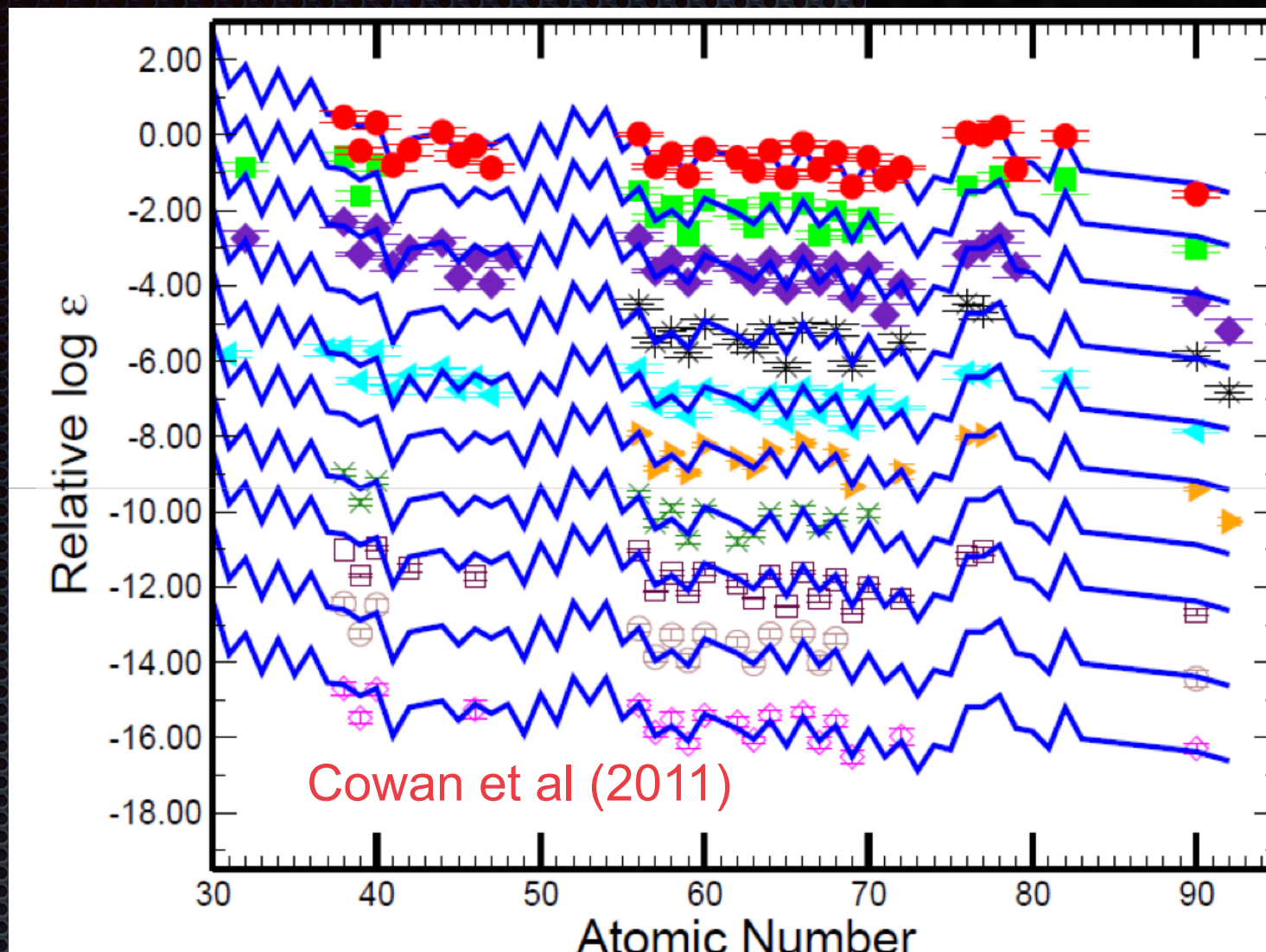
Διατριβή Π. Γάστη



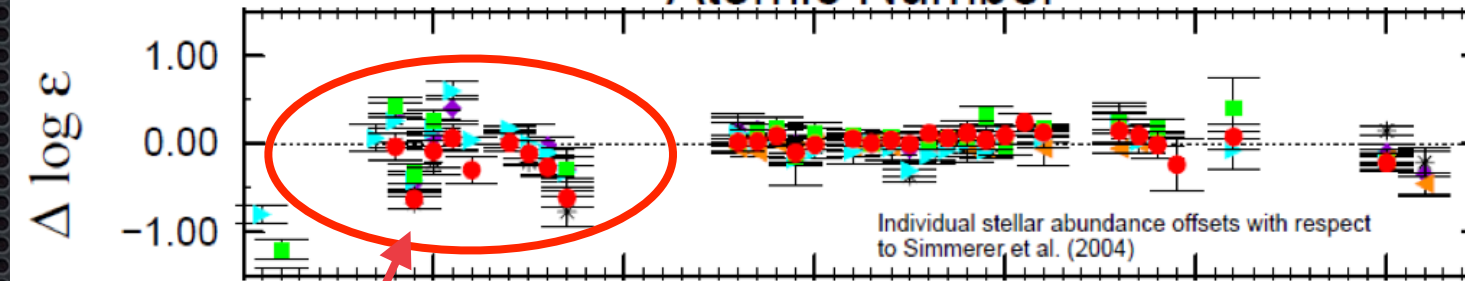
Lodders et al 2010



ΑΣΤΡΙΚΗ ΑΡΧΑΙΟΛΟΓΙΑ - ΜΕΛΕΤΩΝΤΑΣ ΤΑ ΠΑΛΑΙΟΤΕΡΑ ΑΣΤΡΑ



Διατριβή Π. Γάστη



Lodders et al 2010

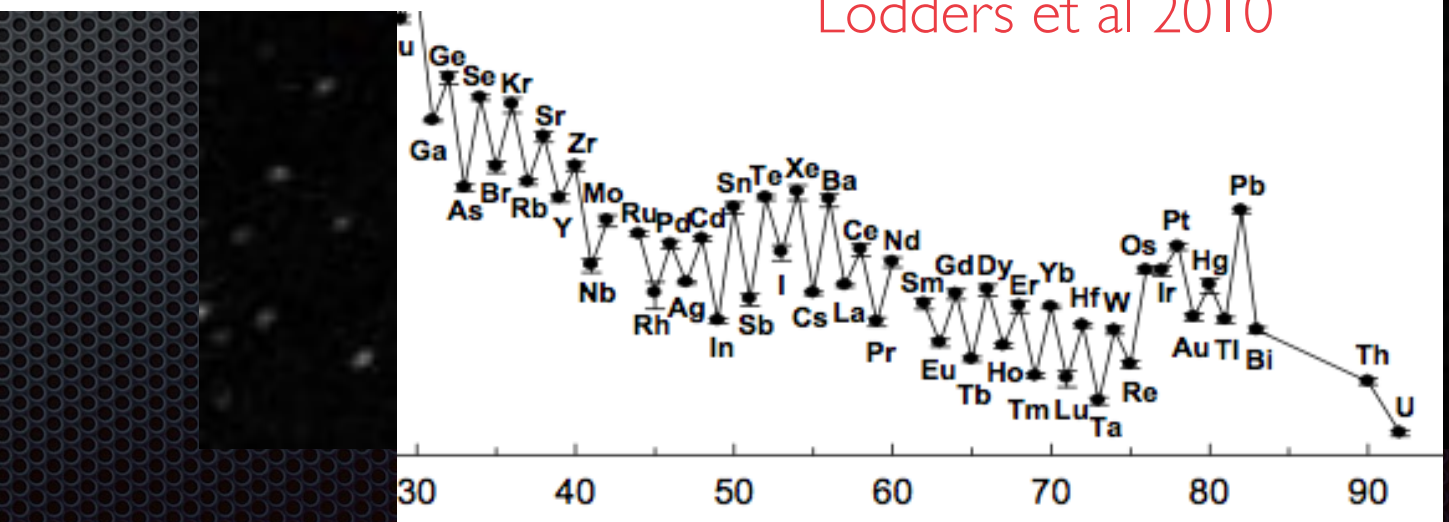
Διεργασία LEPP

(Lighter Element Primary Process)

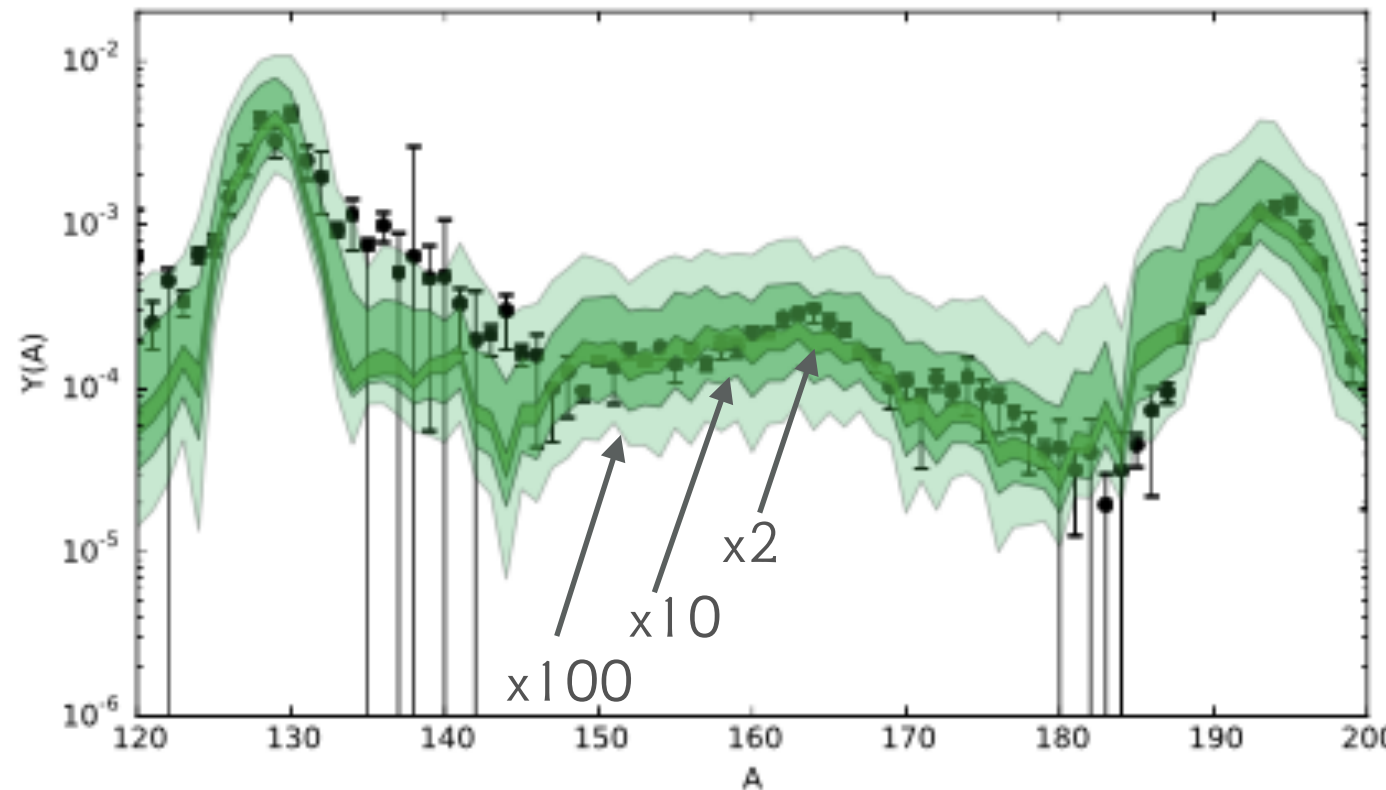
(Μηχανισμός Άγνωστος)

Qian and Wasserburg, 2007

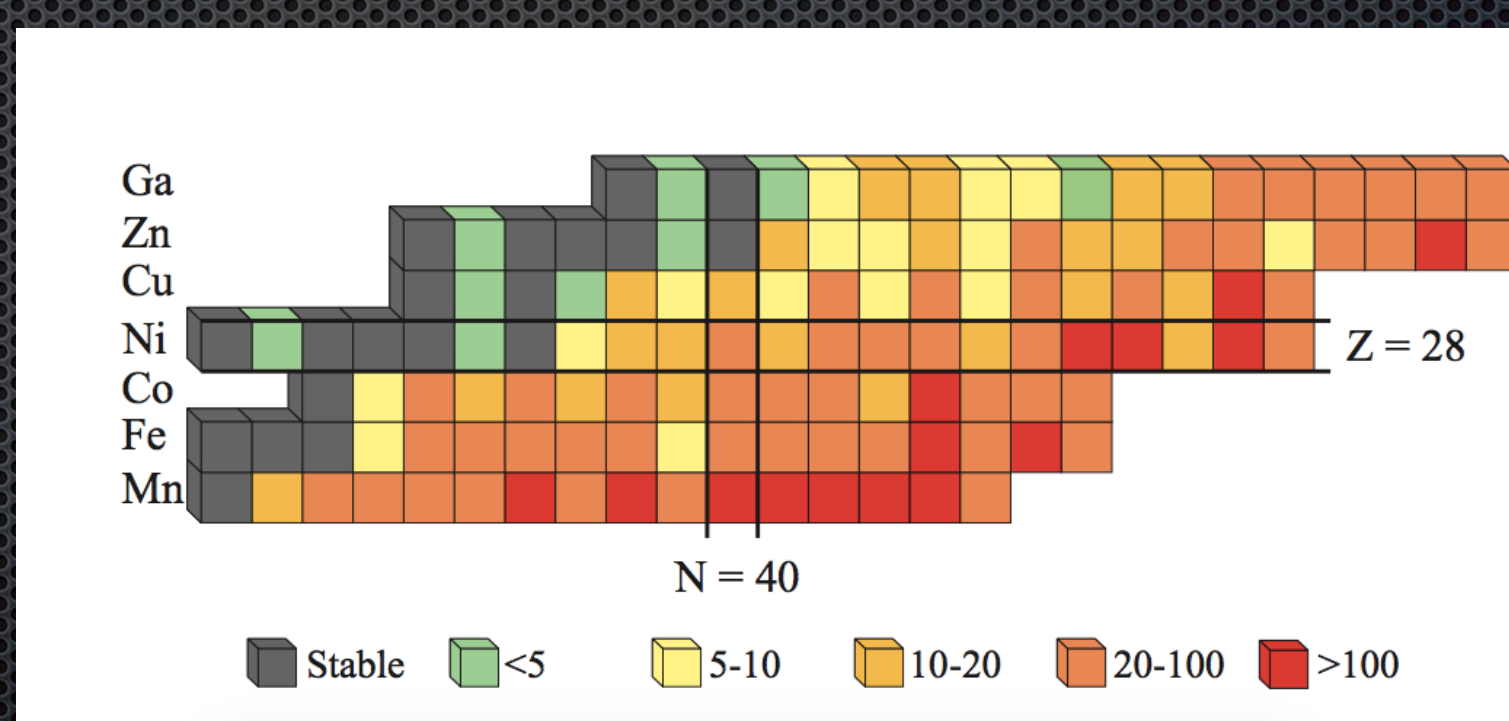
Montes et al., 2007



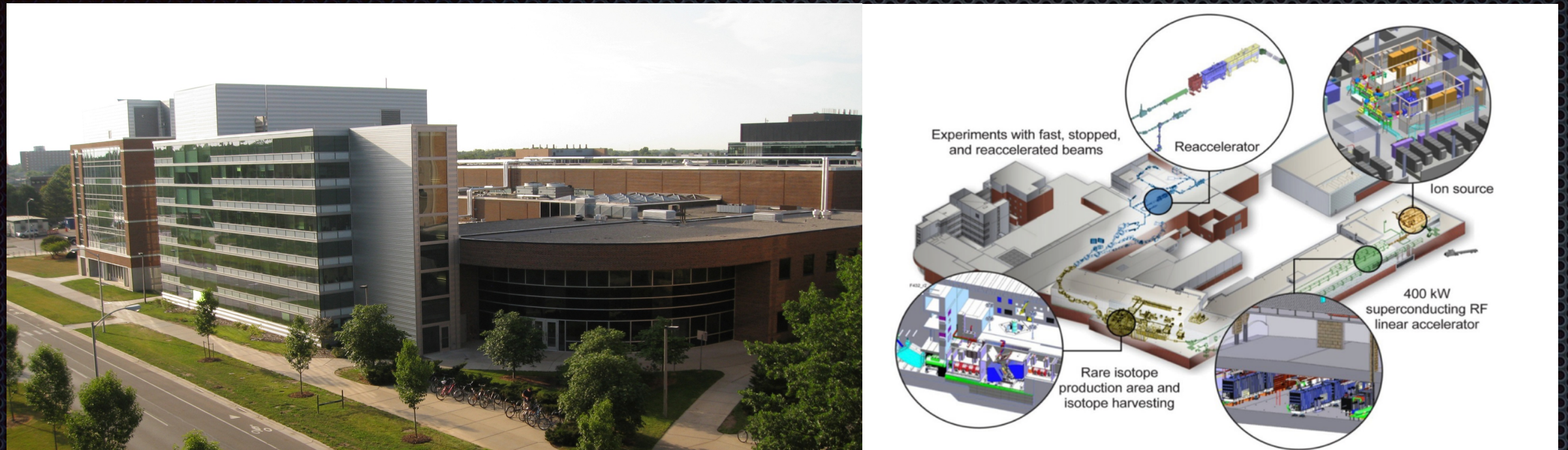
Σημασία της Υπολογιστικής αβεβαιότητας



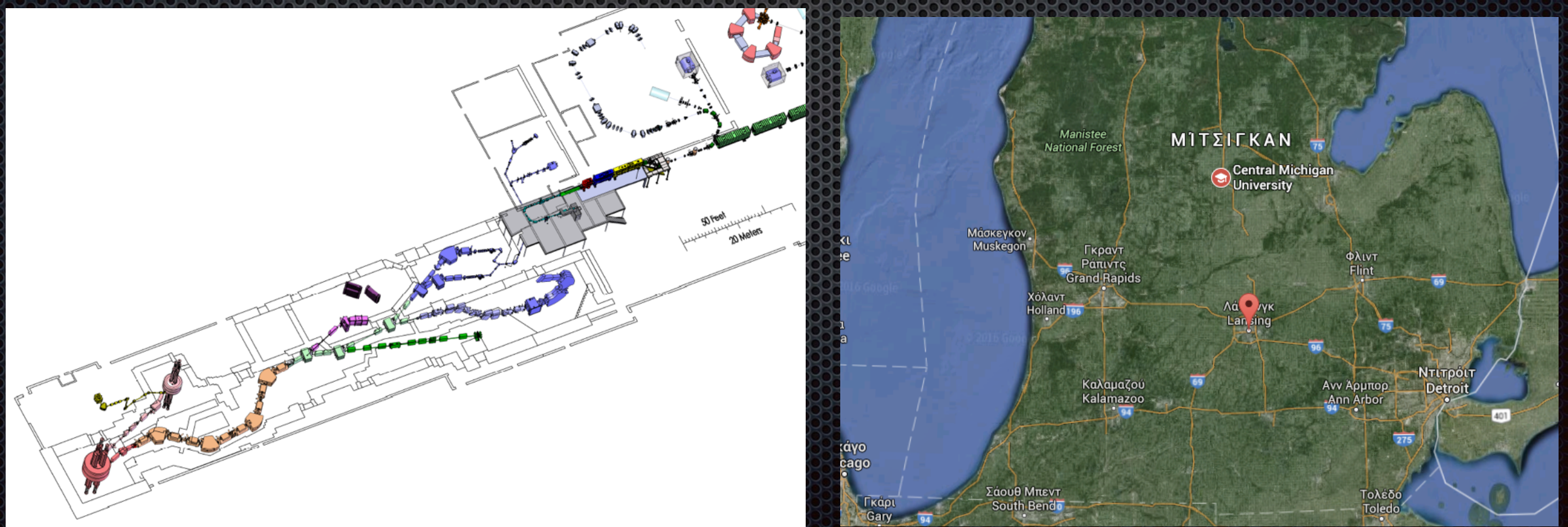
Διατριβή Σ. Νίκα

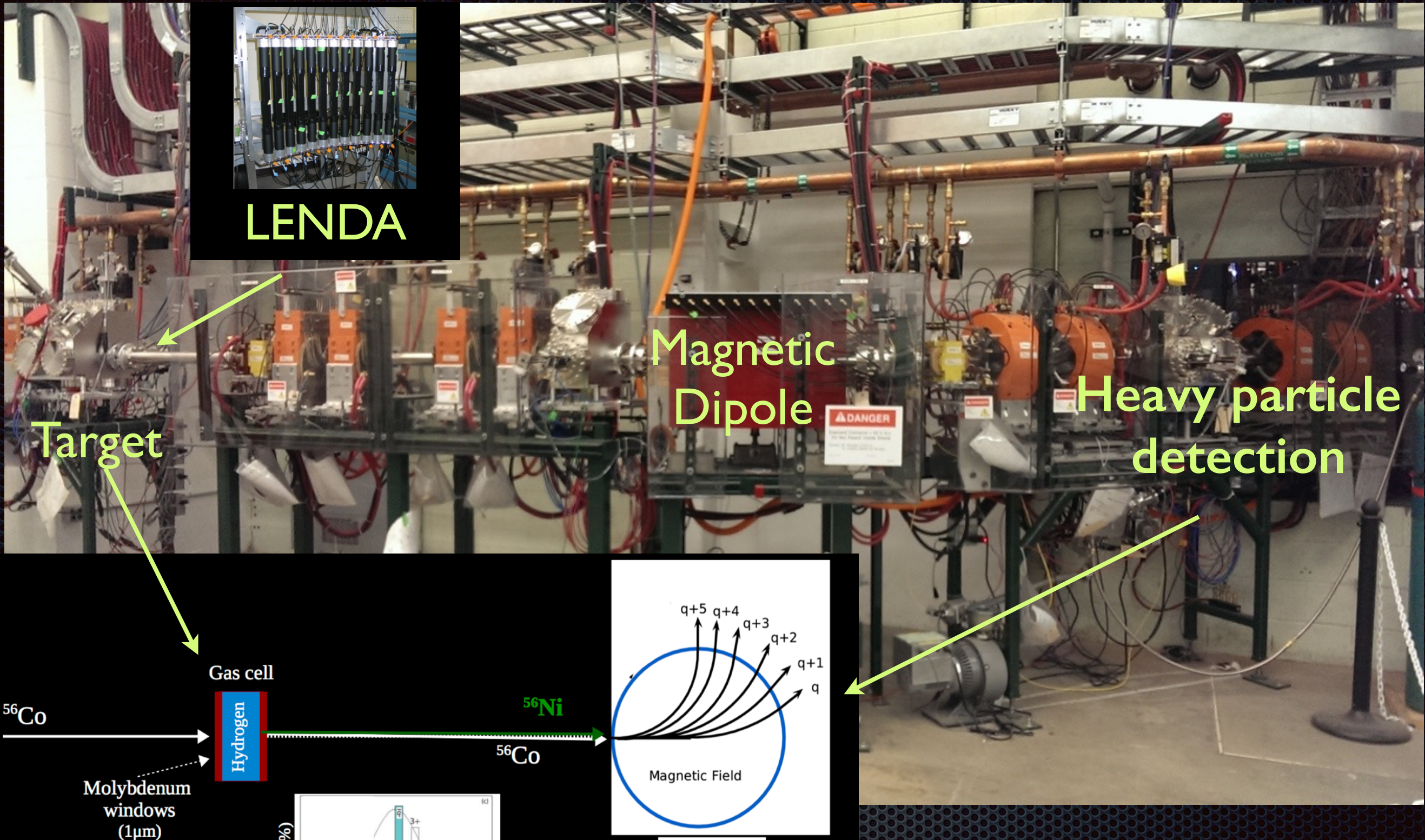


FRIB, 2020: Ο ισχυρότερος επιταχυντής ραδιενεργών ισοτόπων στον κόσμο



NSCL, τώρα: Πειράματα στον ισχυρότερο επιταχυντή ραδιενεργών ισοτόπων στην Αμερική





m: mass
v: velocity
q: charge
 ρ : radius of curvature



Ανάμεσα στα 100 μεγαλύτερα πανεπιστήμια στην Αμερική (28000 φοιτητές)
Ένα από τα πιο εξειδικευμένα τμήματα φυσικής:

42% Πυρηνική φυσική, 42% Επιστήμη υλικών, 16% Αστρονομία
Η μονη ομάδα πυρηνικής φυσικής που είναι τμήμα του εθνικού εργαστηρίου
παραγωγής δεσμών από σπάνια ραδιενεργά ισότοπα (NSCL/FRIB)
Μεταπτυχιακές σπουδές MS και PhD σε Πυρηνική φυσική και Επιστήμη των
υλικών, MS σε Αστρονομία.

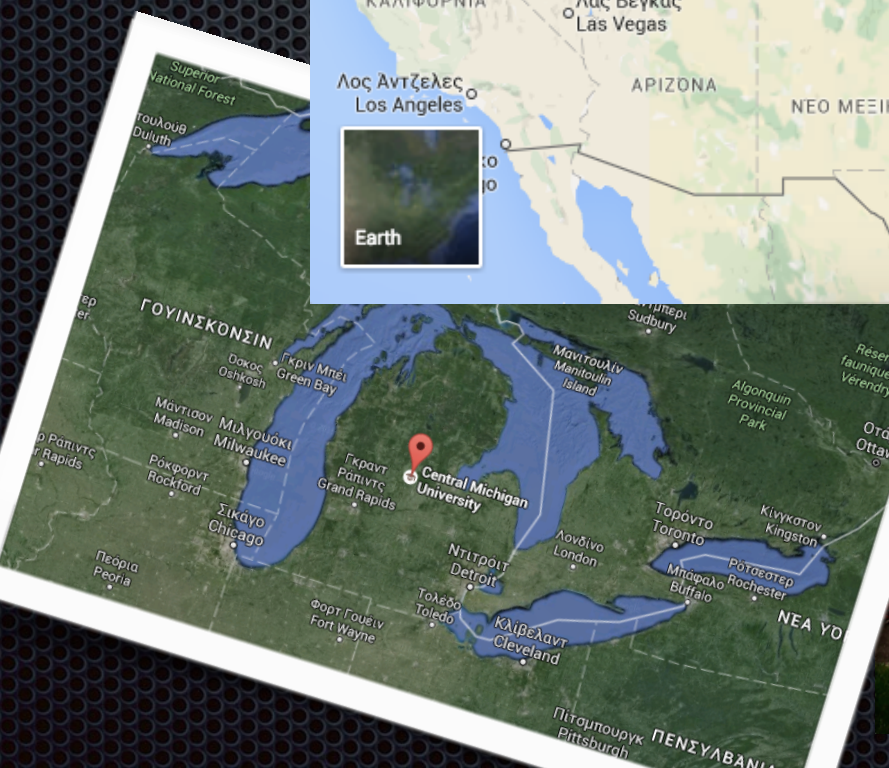
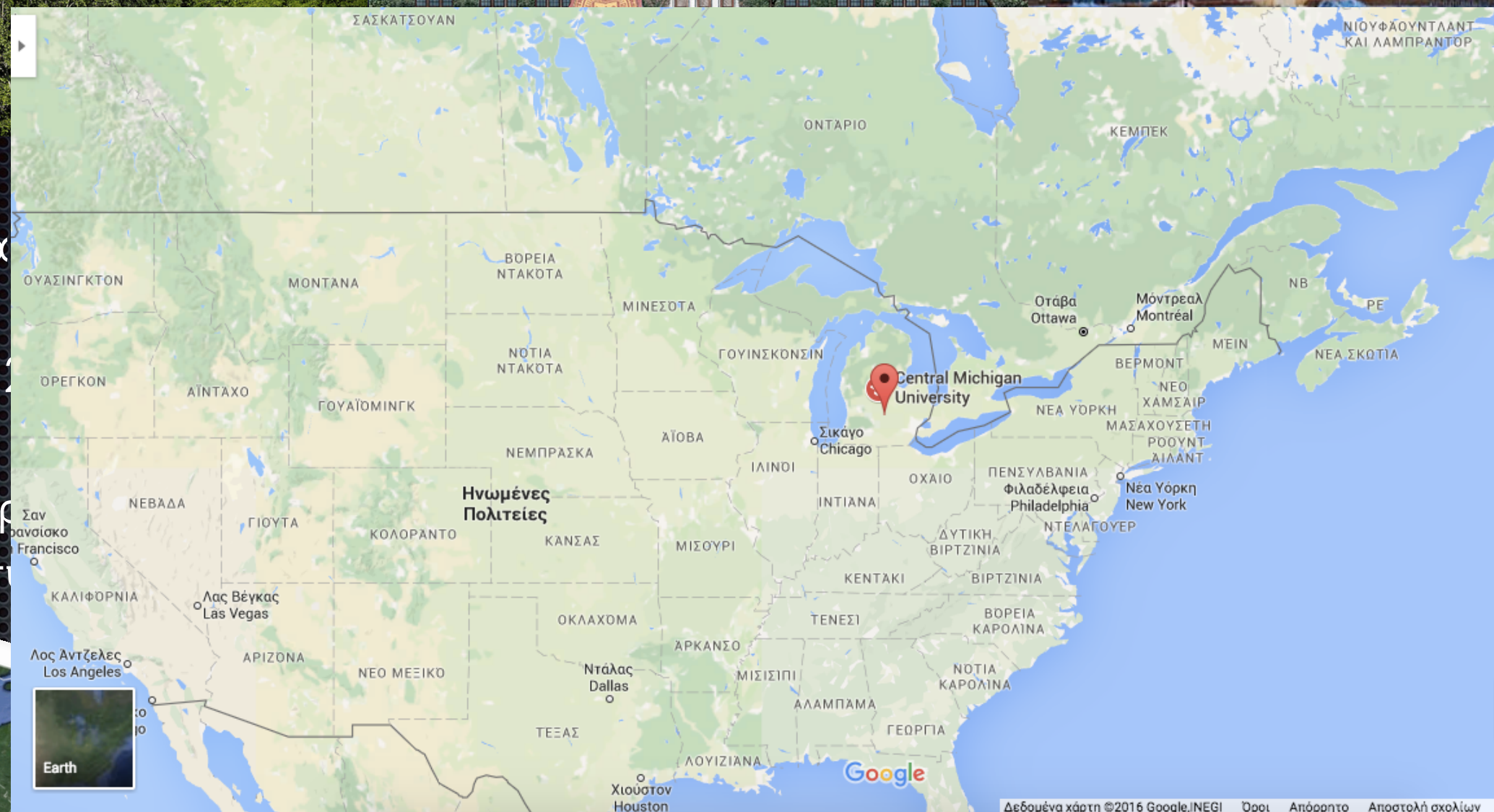




Ανάμεσα

42

Η μονη
παρ
Μεταπτι



τητές)

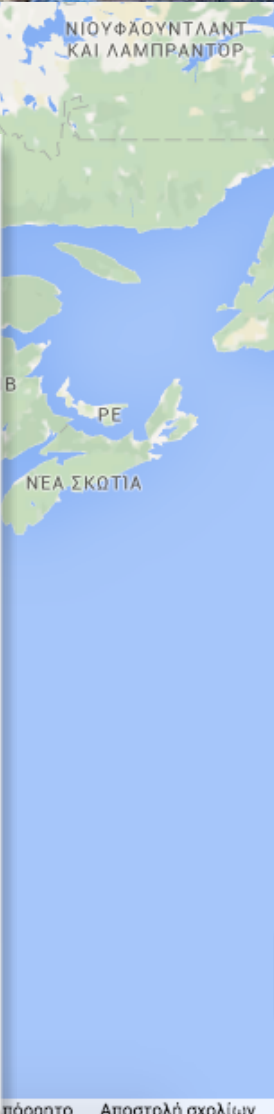
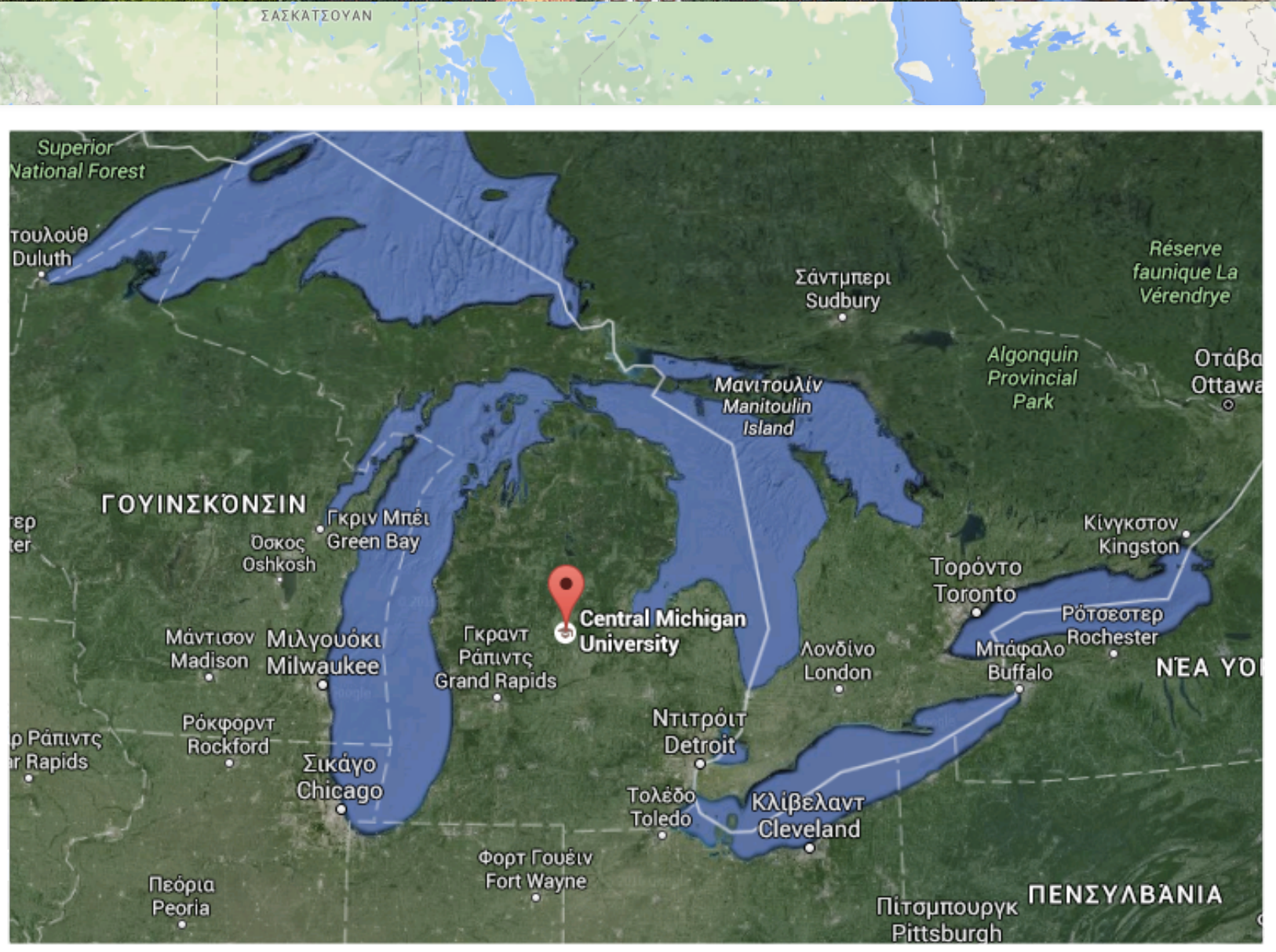
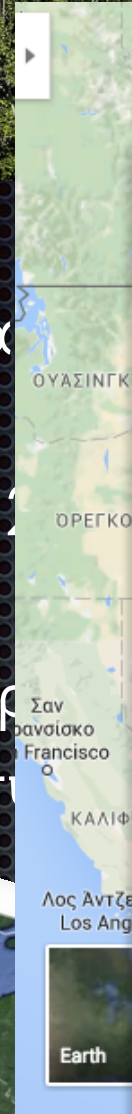
ηρίου
)
η των



Ανάμεσα

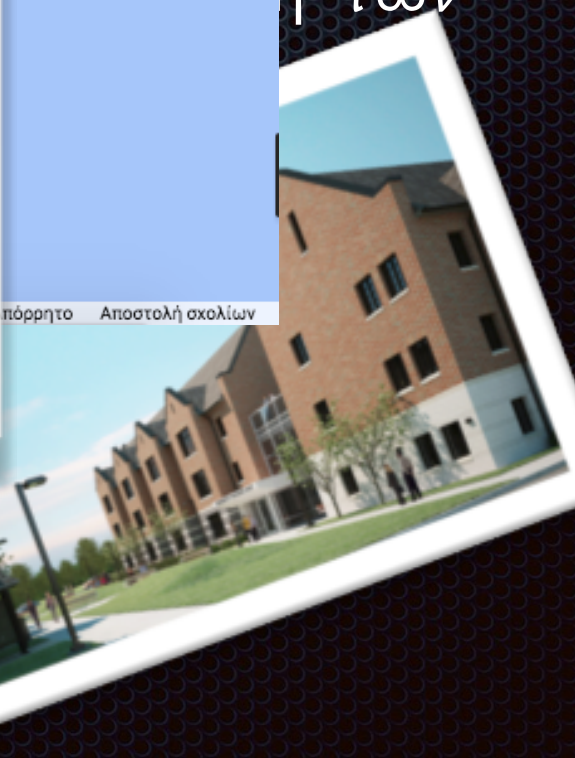
42

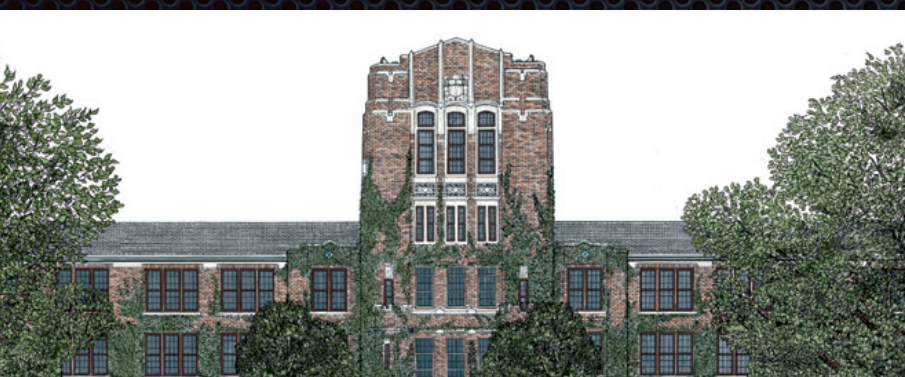
Η μονη
παρ
Μεταπτι



τητές)

ηρίου
)
η των

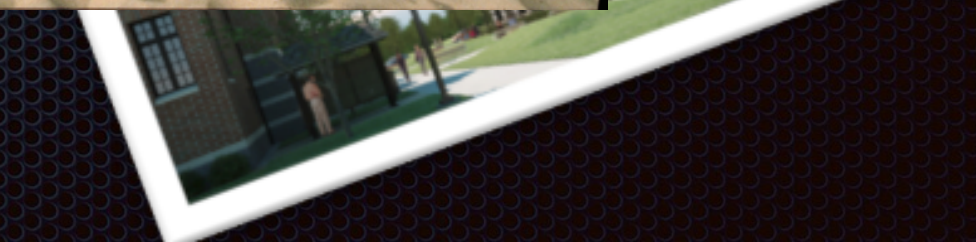




Ανάμ

Η μα

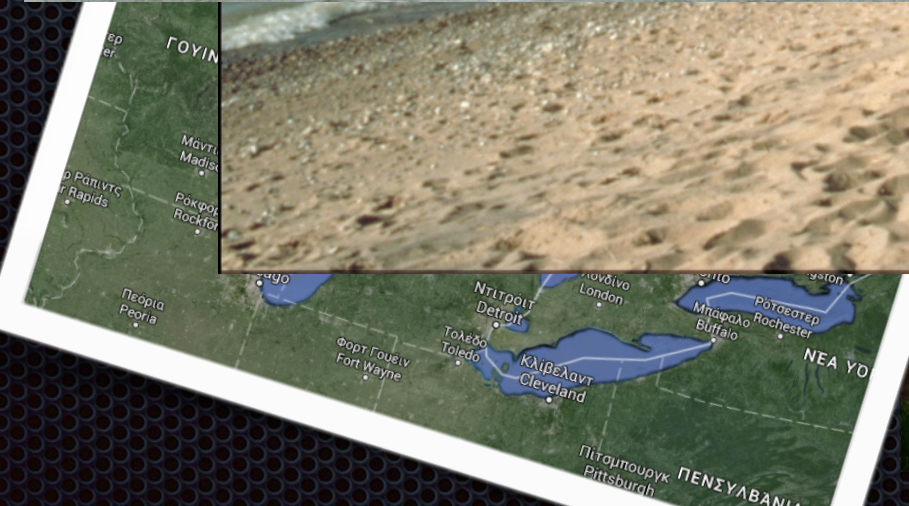
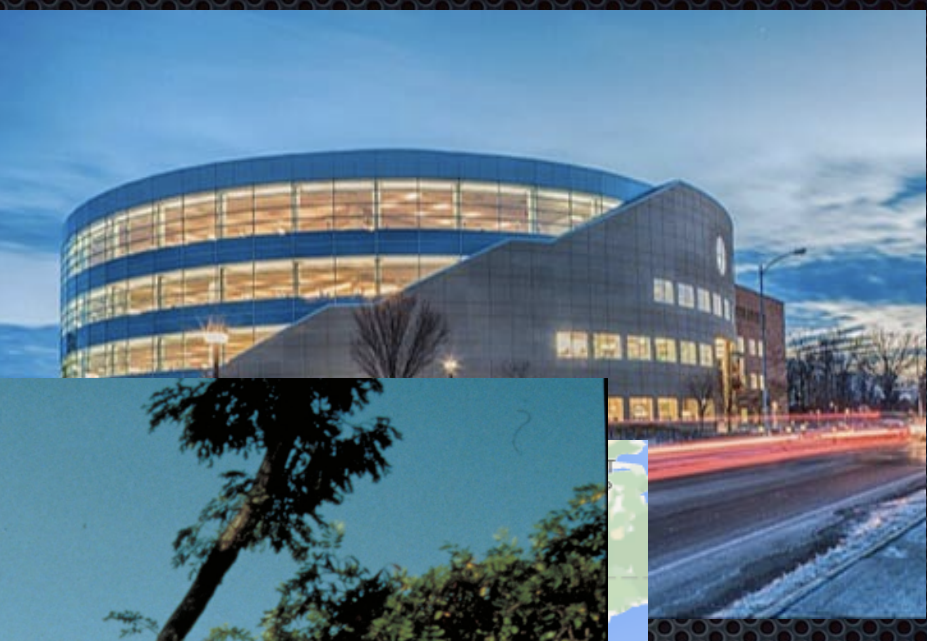
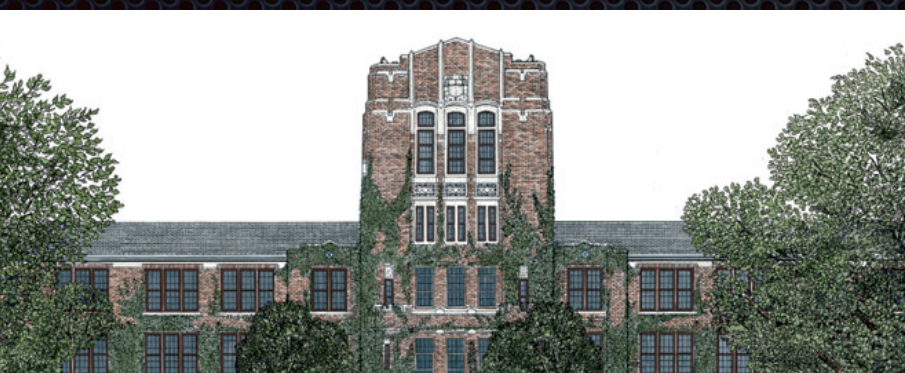
Μετο



τητές)

ηρίου

)
η των





R. M. Almus
P. Gastis
M. Horoi
S. Nikas
M. Redshaw



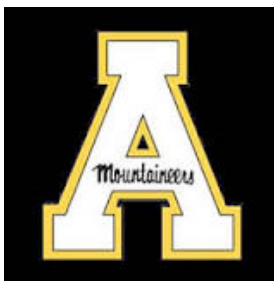
T. Anderson
A. Aprahamian
R. Avetisyan,
A. A. Bataglia,
M. Beard
W. Bauder
B. M. Bucher,
C. R. Casarella,
P. Colon,
A. M. Long,
W. Lu,
S. Lyons,
S. T. Marley,
K. M. Ostdiek,
D. Robertson
M. Skulski
K. I. Smith,
M. K. Smith,
E. J. Stech,
W. Tan,
R. Talwar,
M. Wiescher



S. Lipschutz,
F. Montes
T. H. Redpath
A. Spyrou,
R. G. T. Zegers



C. Fröhlich



D. Hatcher



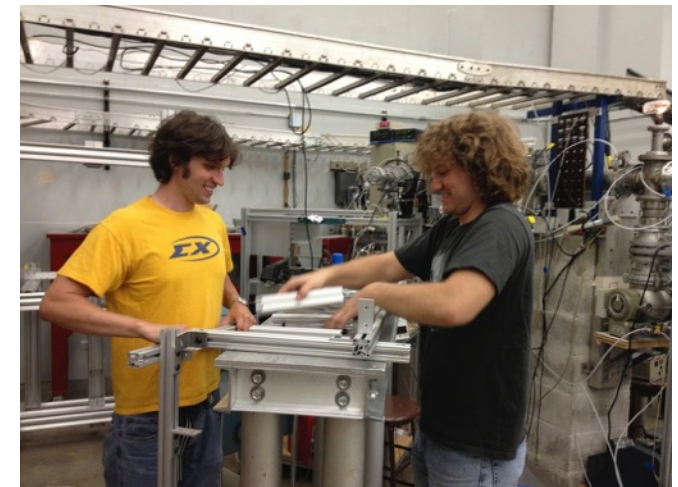
A. Voinov



K. Wimmer



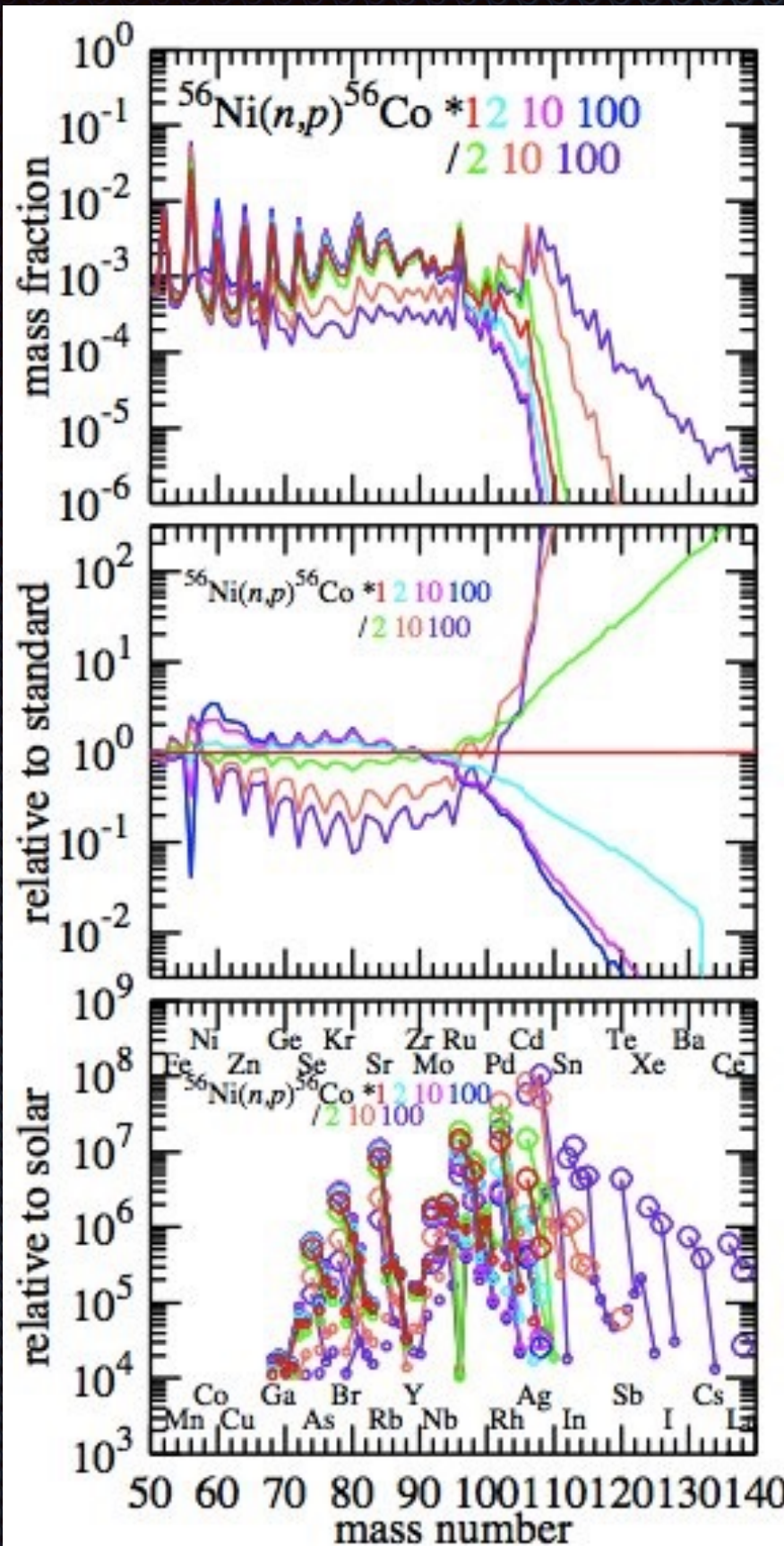
A. Kontos



U.S. DEPARTMENT OF
ENERGY | Office of
Science

Award No. DE-SC0014285

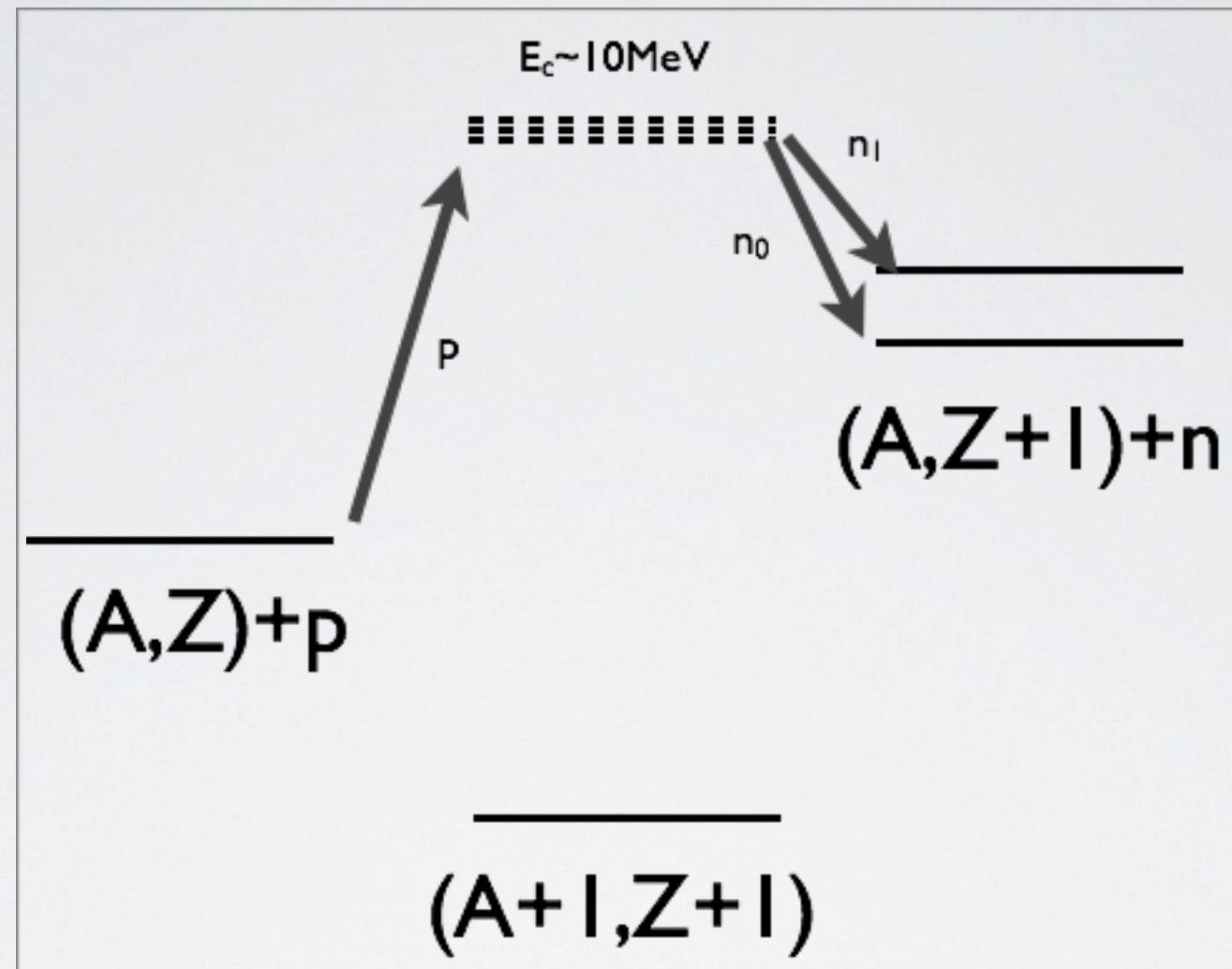
EFFECT OF NUCLEAR PHYSICS INPUT ON NUCLEOSYNTHESIS



- $0 < E_n < 1 \text{ MeV}$ $1.5\text{GK} < T < 3\text{GK}$
- compound nucleus process
- (most) important reaction rate: $^{56}\text{Ni}(n,p)$
- proton rich, unstable nuclei
- **no experimental data**

How can we constrain the key reaction rates?

Indirect way: If we cannot do (n,p) then perhaps (p,n)?



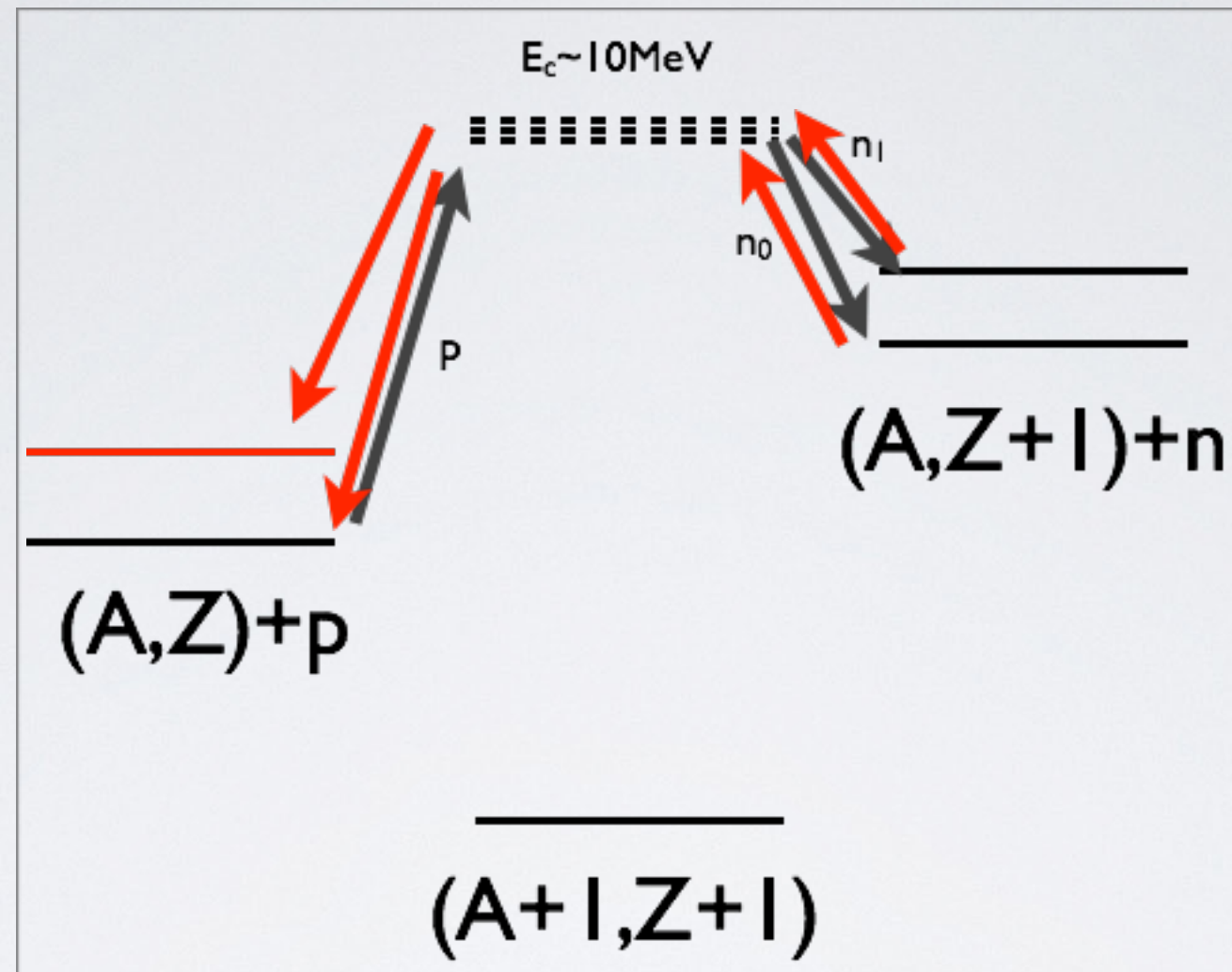
Can we constrain the relevant p, n widths for $^{56}\text{Ni}(n,p)^{56}\text{Co}$?

“Investigation of the role of the vp process in the synthesis of heavy elements through the reaction $^{56}\text{Co}(p,n)^{56}\text{Ni}$ in inverse kinematics at ReA3”

G. Perdikakis et al, Proposal 14061 to NSCL PAC 38, April 2014 (approved)

Also DE-SC0014285, Department of Energy

Indirect way: If we cannot do (n,p) then perhaps (p,n)?



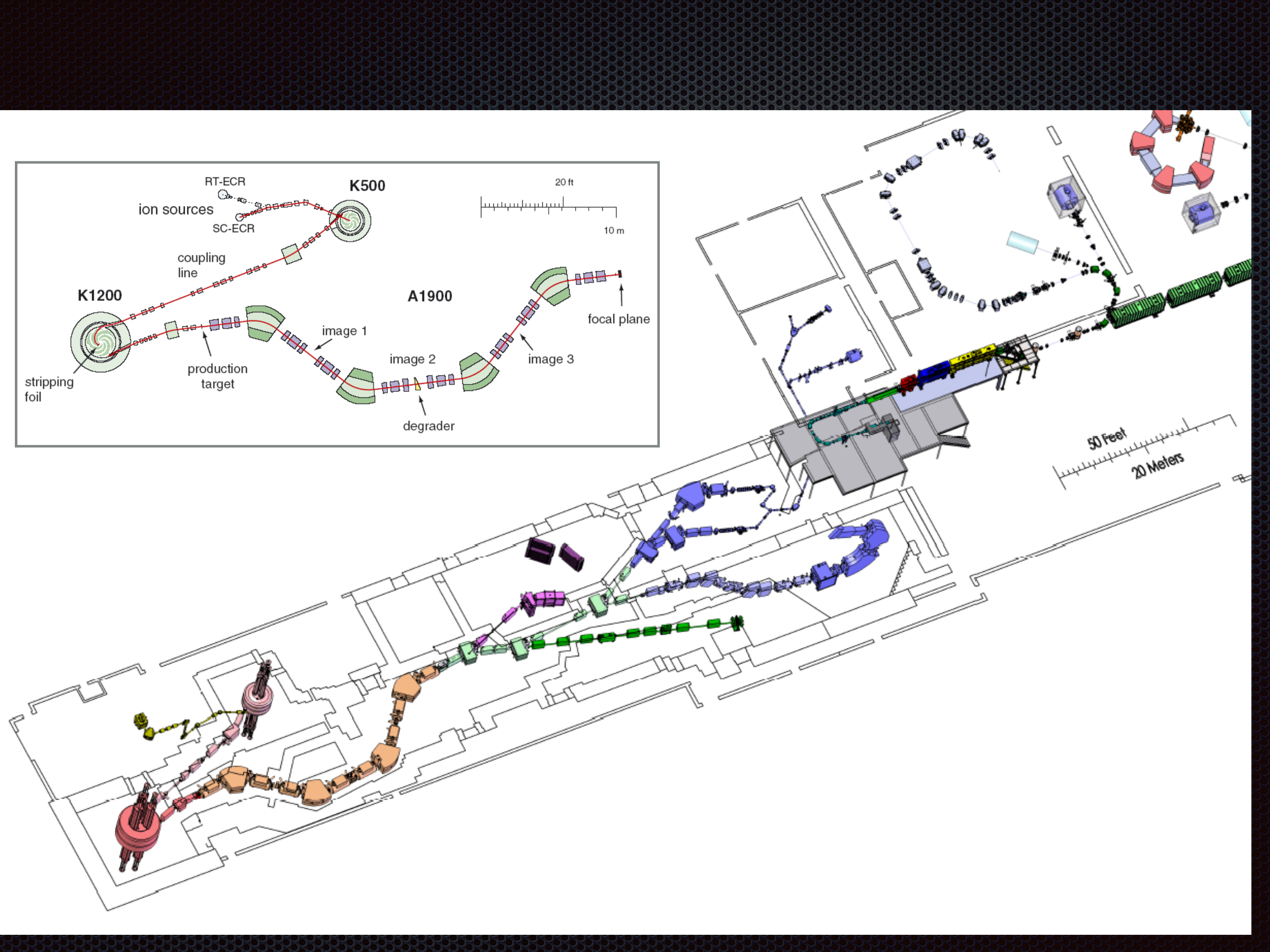
Can we constrain the relevant p, n widths for $^{56}\text{Ni}(n,p)^{56}\text{Co}$?

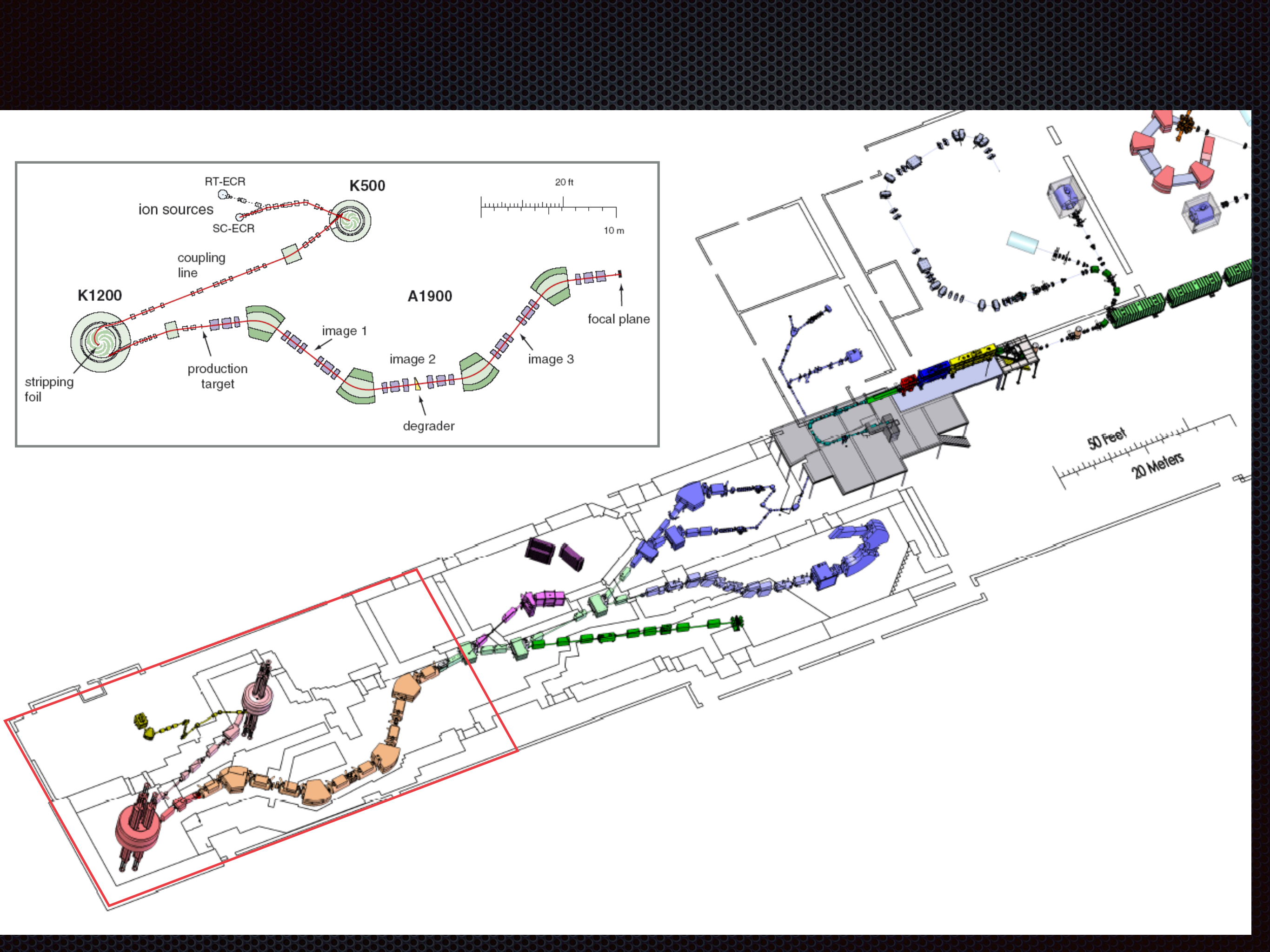
“Investigation of the role of the vp process in the synthesis of heavy elements through the reaction $^{56}\text{Co}(p,n)^{56}\text{Ni}$ in inverse kinematics at ReA3”

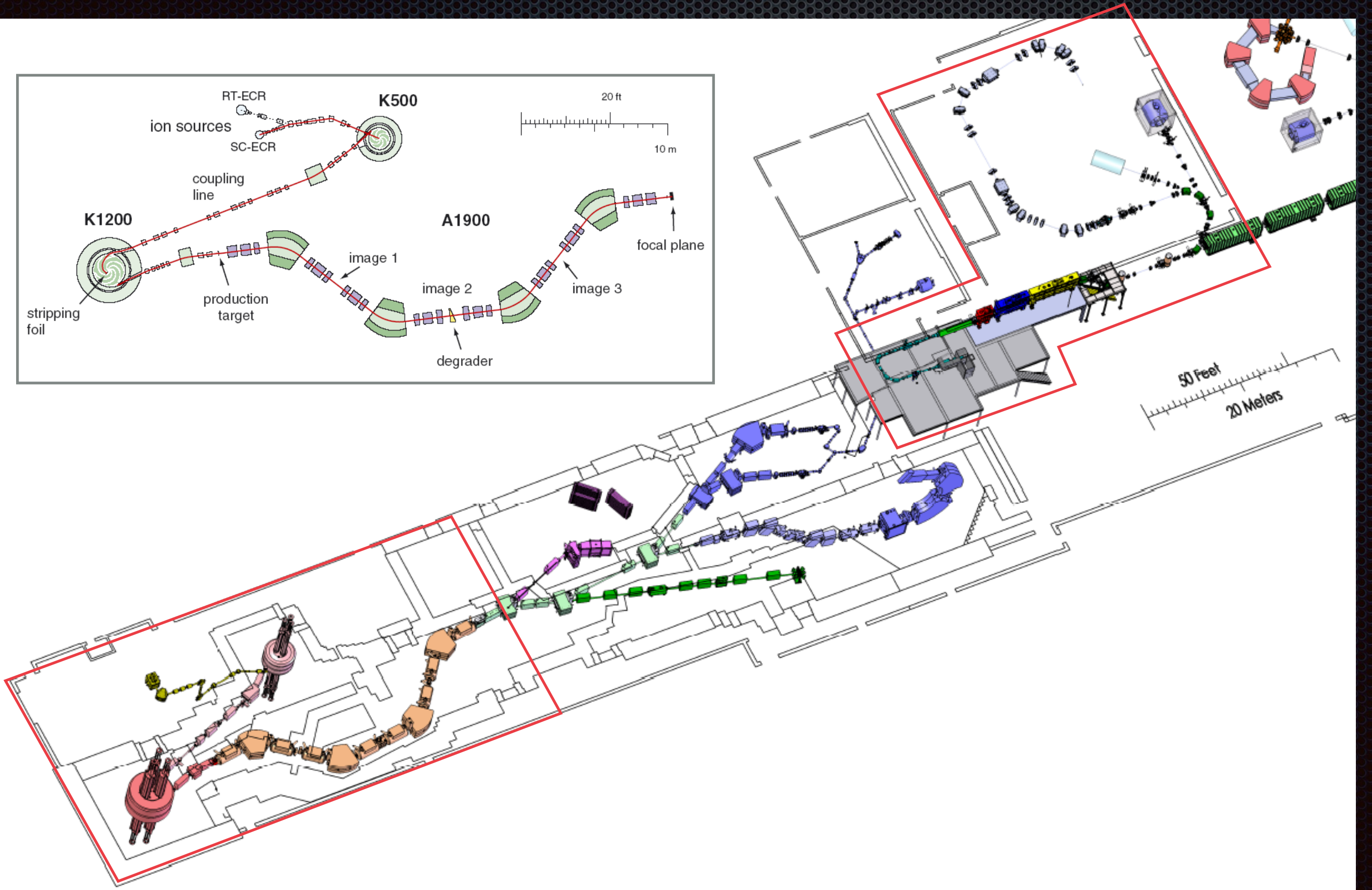
G. Perdikakis et al, Proposal 14061 to NSCL PAC 38, April 2014 (approved)

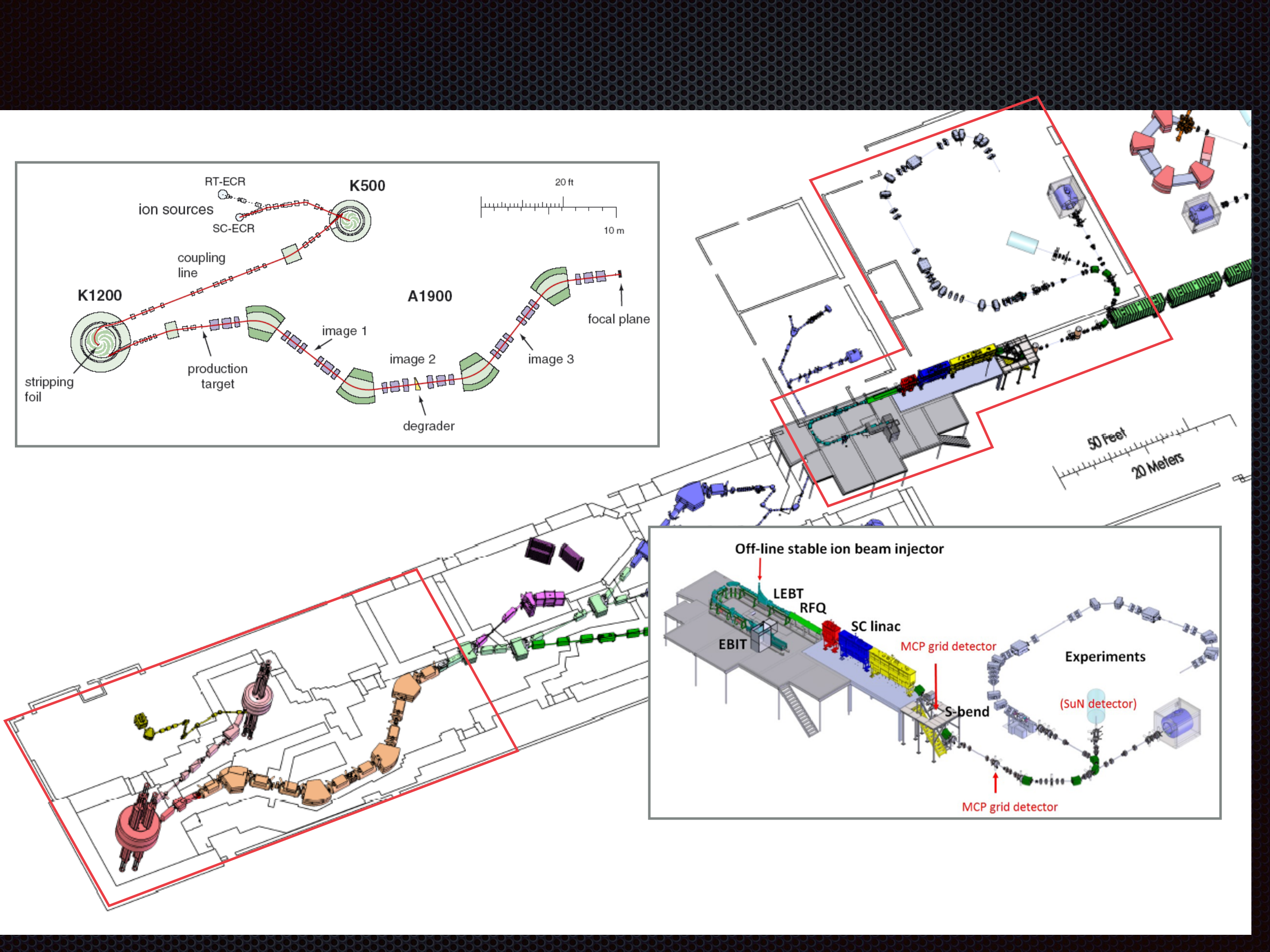
Also DE-SC0014285, Department of Energy



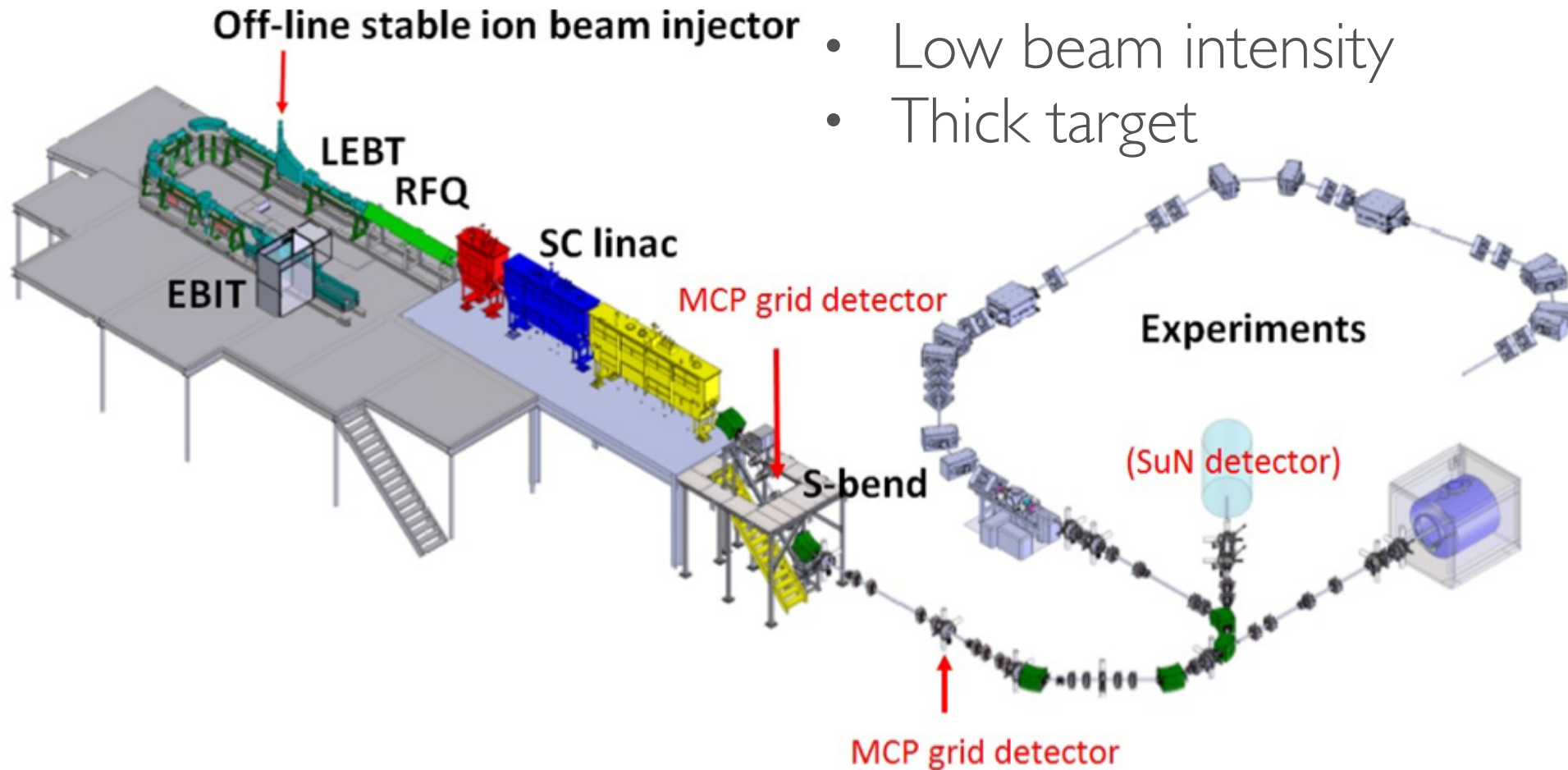






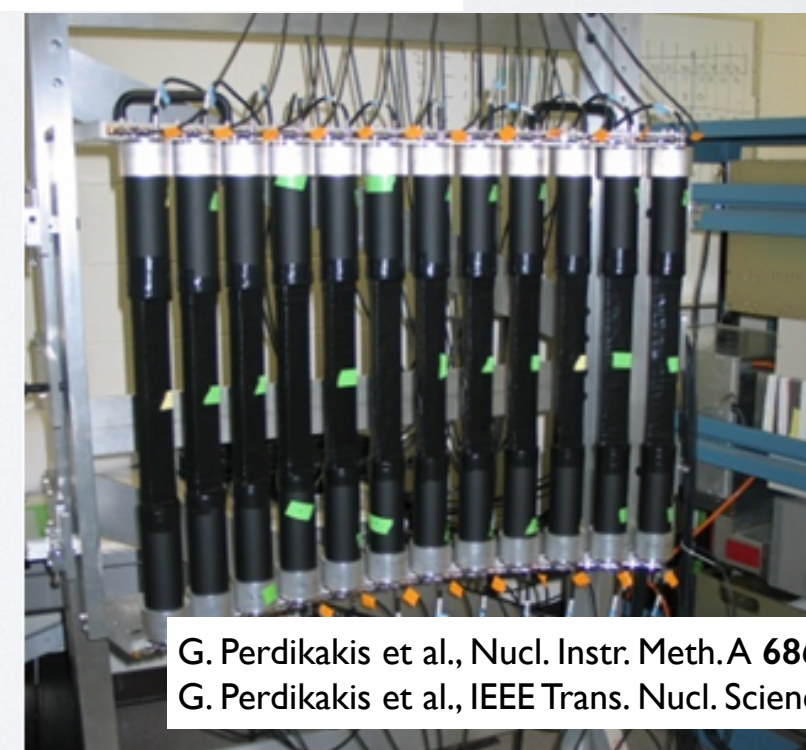


ReA 3

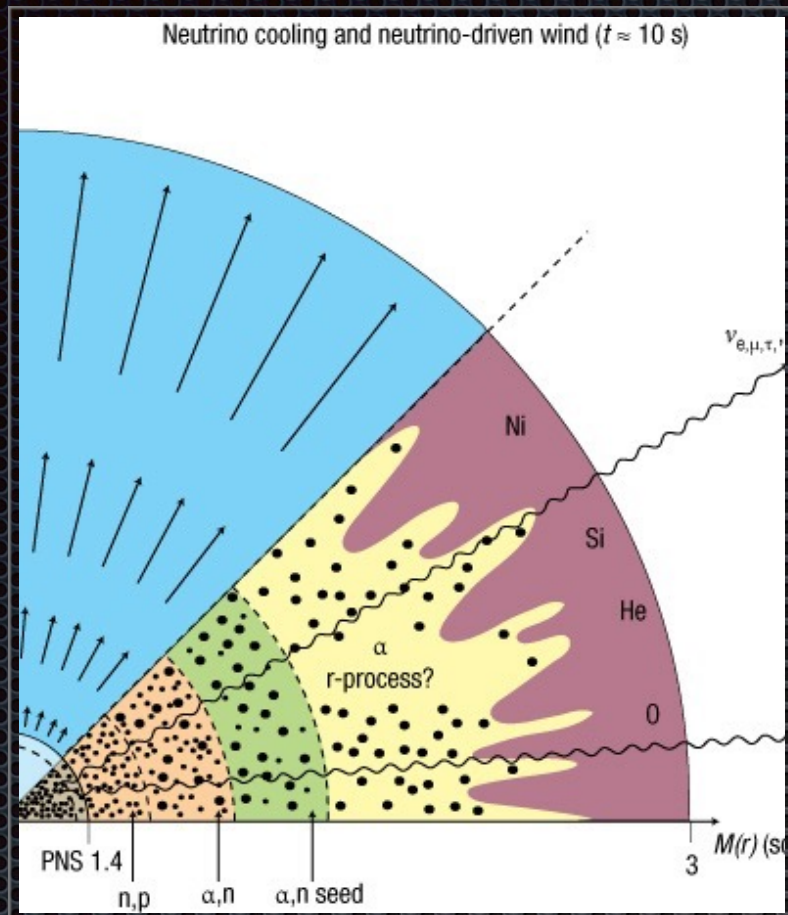


LEND^A

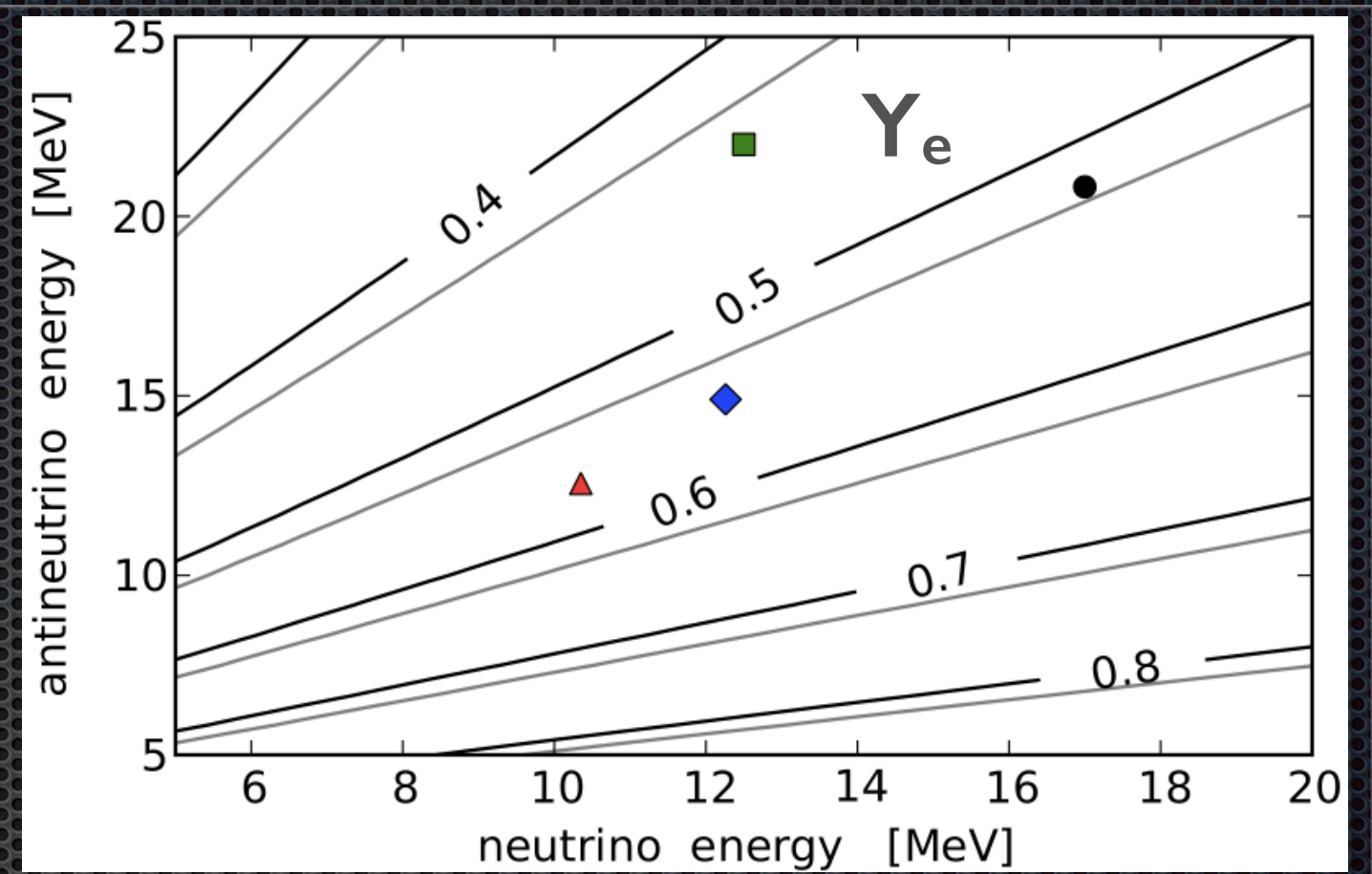
- 24 plastic scintillator bars
- timing resolution $\sim 400\text{ps}$
- Angle resolution $2^\circ @ 1\text{m}$
- Coverage: 45° lab angle
- Efficiency $> 20\%$ below 4 MeV
- $E_n \geq 130 \text{ keV}$



ΑΣΤΡΙΚΟΣ ΑΝΕΜΟΣ ΝΕΤΡΙΝΩΝ



S.Woosley, H.T.Janka, 2005



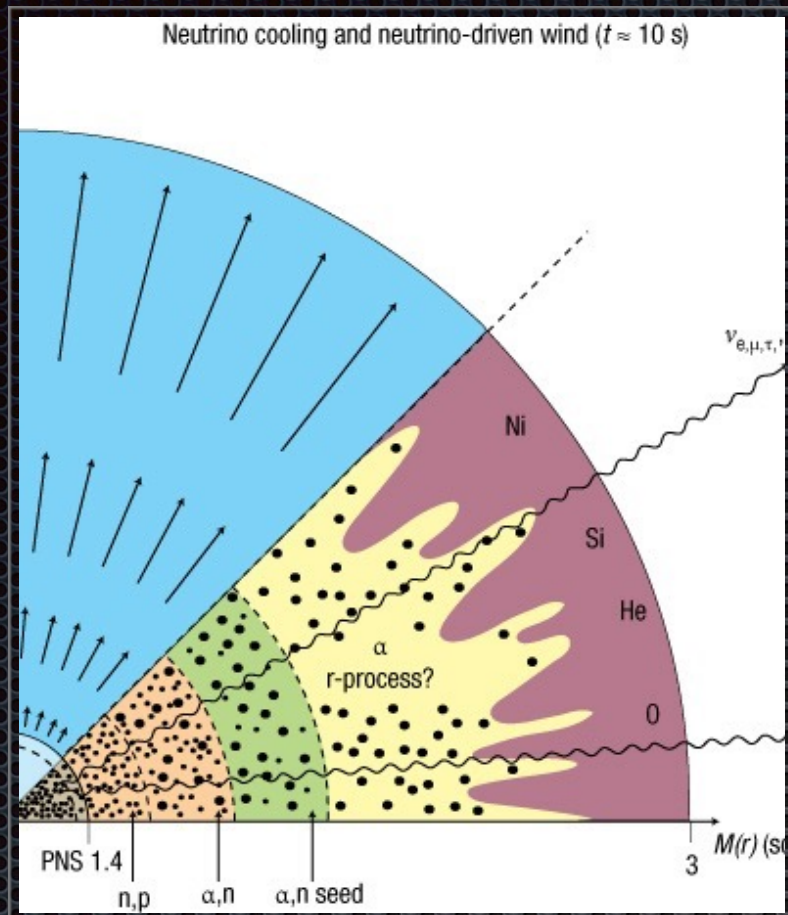
A.Arcones, and F.K.Thielemann, 2013

$$Y_e \approx \left[1 + \frac{L_{\bar{\nu}_e}(\epsilon_{\bar{\nu}_e} - 2\Delta + 1.2\Delta^2/\epsilon_{\bar{\nu}_e})}{L_{\nu_e}(\epsilon_{\nu_e} + 2\Delta + 1.2\Delta^2/\epsilon_{\nu_e})} \right]^{-1}$$

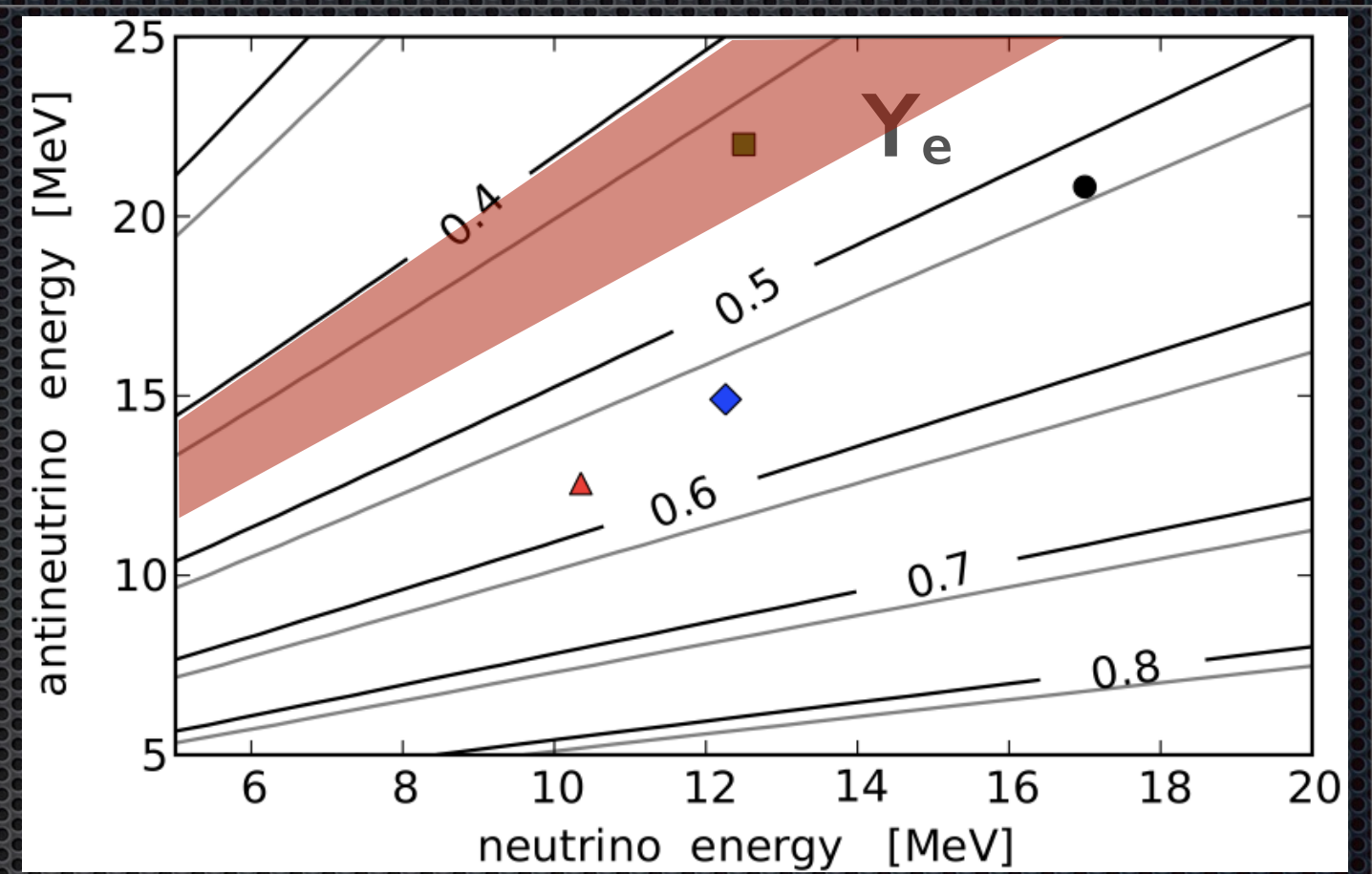
$Y_e < 0.5$, Πλεόνασμα νετρονίων

$Y_e > 0.5$, Πλεόνασμα πρωτονίων

ΑΣΤΡΙΚΟΣ ΑΝΕΜΟΣ ΝΕΤΡΙΝΩΝ



S.Woosley, H.T.Janka, 2005



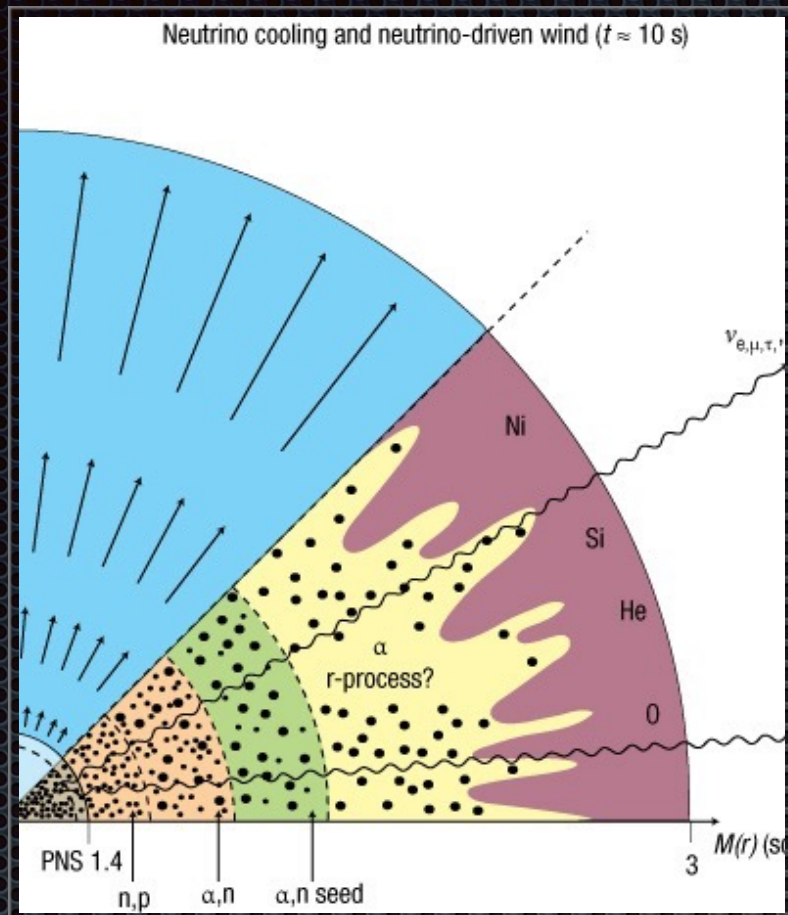
A.Arcones, and F.K.Thielemann, 2013

$$Y_e \approx \left[1 + \frac{L_{\bar{\nu}_e}(\epsilon_{\bar{\nu}_e} - 2\Delta + 1.2\Delta^2/\epsilon_{\bar{\nu}_e})}{L_{\nu_e}(\epsilon_{\nu_e} + 2\Delta + 1.2\Delta^2/\epsilon_{\nu_e})} \right]^{-1}$$

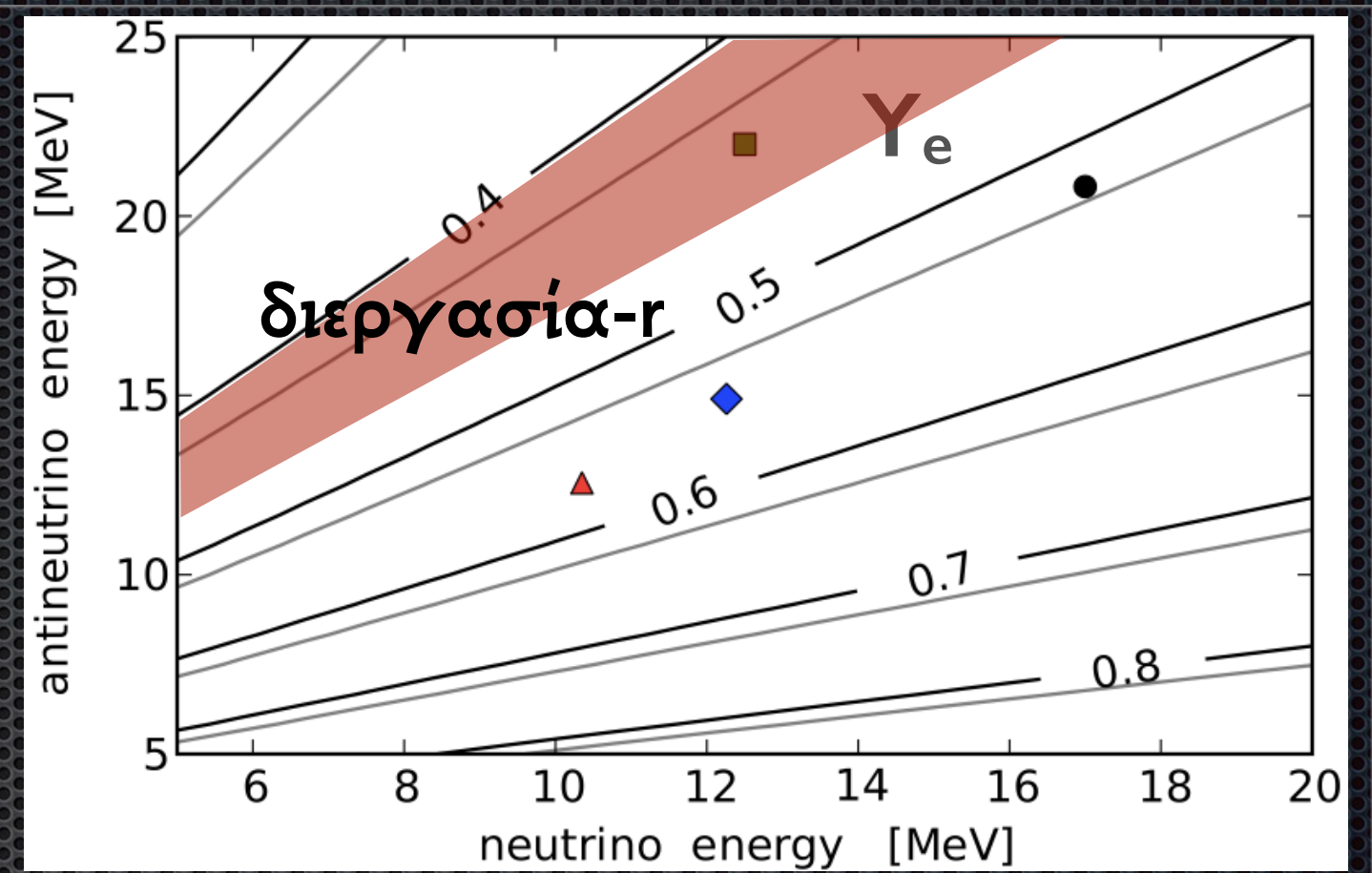
$Y_e < 0.5$, Πλεόνασμα νετρονίων

$Y_e > 0.5$, Πλεόνασμα πρωτονίων

ΑΣΤΡΙΚΟΣ ΑΝΕΜΟΣ ΝΕΤΡΙΝΩΝ



S.Woosley, H.T. Janka, 2005



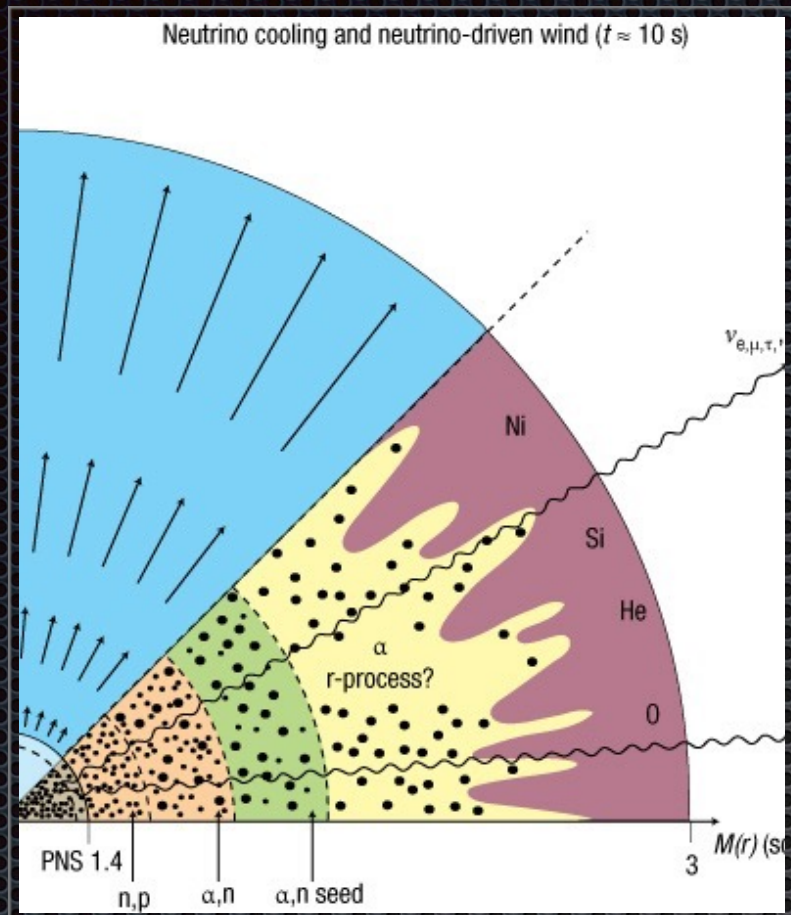
A. Arcones, and F.K.Thielemann, 2013

$$Y_e \approx \left[1 + \frac{L_{\bar{\nu}_e}(\epsilon_{\bar{\nu}_e} - 2\Delta + 1.2\Delta^2/\epsilon_{\bar{\nu}_e})}{L_{\nu_e}(\epsilon_{\nu_e} + 2\Delta + 1.2\Delta^2/\epsilon_{\nu_e})} \right]^{-1}$$

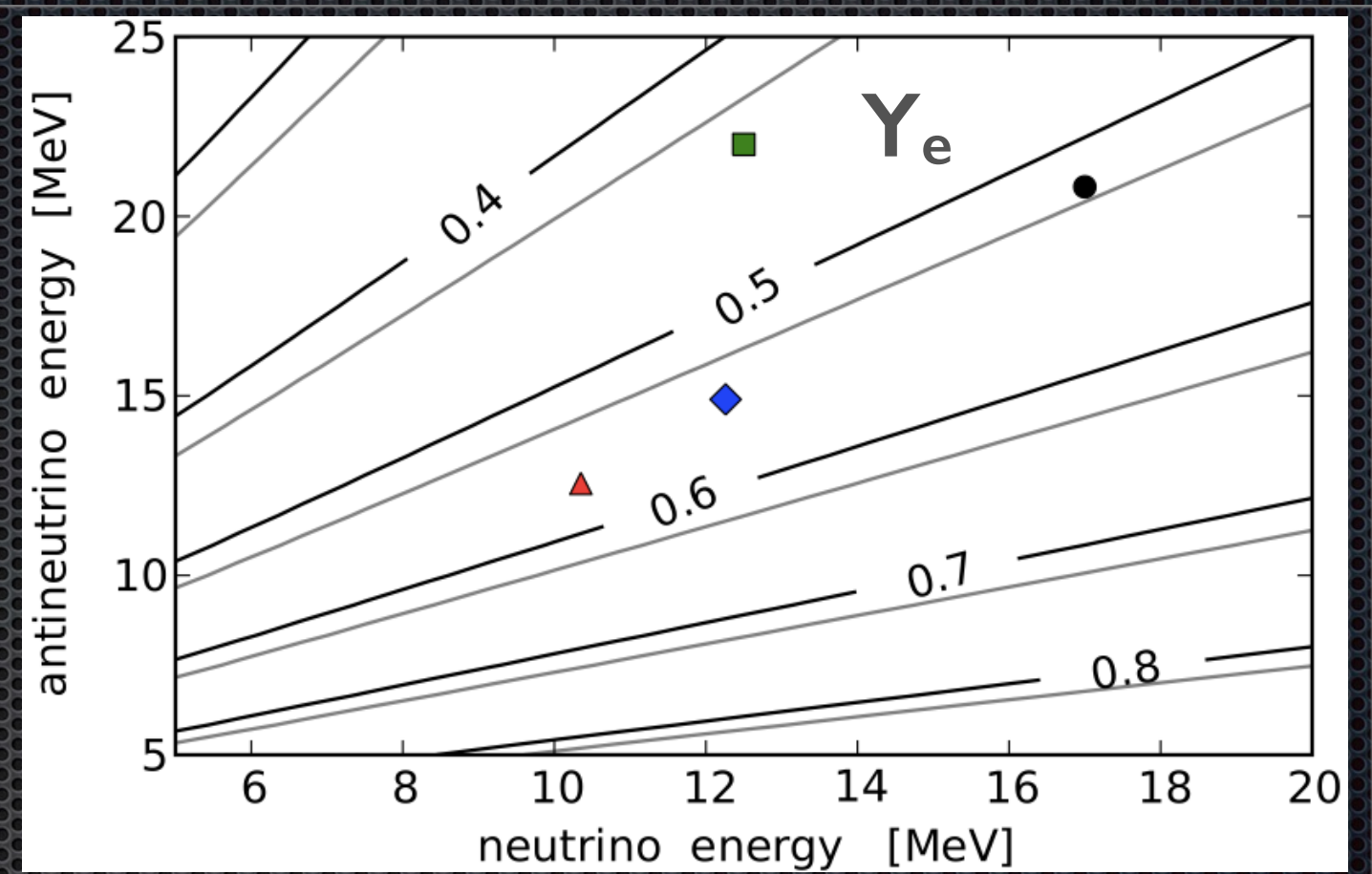
$Y_e < 0.5$, Πλεόνασμα νετρονίων

$Y_e > 0.5$, Πλεόνασμα πρωτονίων

ΑΣΤΡΙΚΟΣ ΑΝΕΜΟΣ ΝΕΤΡΙΝΩΝ



S.Woosley, H.T. Janka, 2005



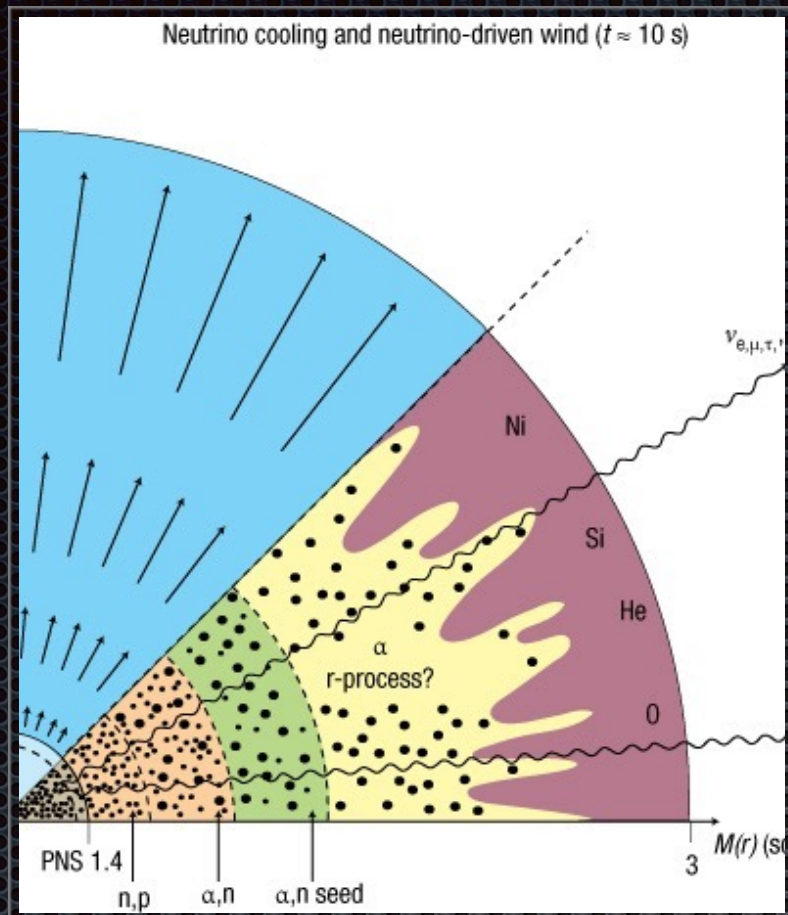
A. Arcones, and F.K.Thielemann, 2013

$$Y_e \approx \left[1 + \frac{L_{\bar{\nu}_e}(\epsilon_{\bar{\nu}_e} - 2\Delta + 1.2\Delta^2/\epsilon_{\bar{\nu}_e})}{L_{\nu_e}(\epsilon_{\nu_e} + 2\Delta + 1.2\Delta^2/\epsilon_{\nu_e})} \right]^{-1}$$

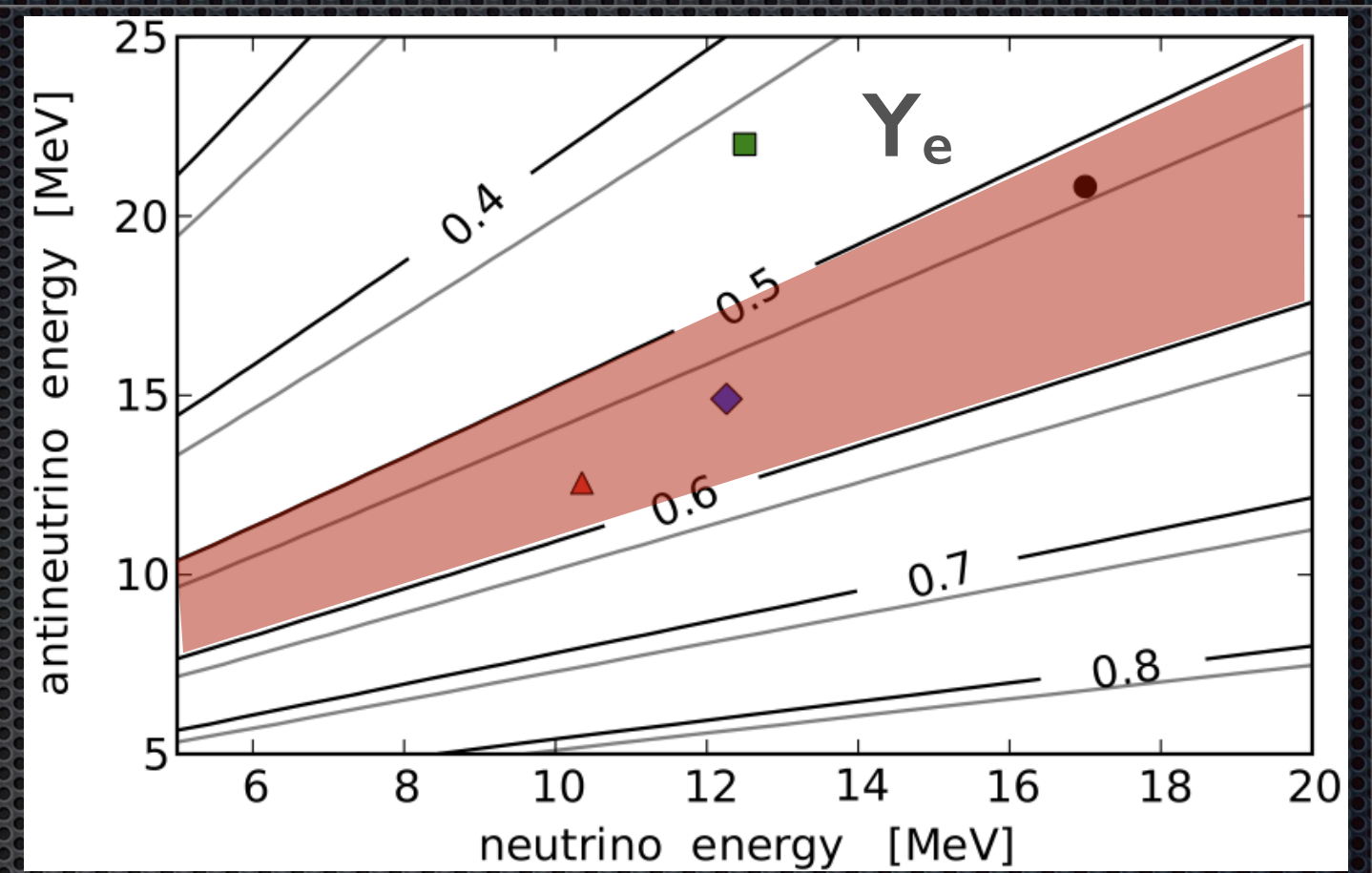
$Y_e < 0.5$, Πλεόνασμα νετρονίων

$Y_e > 0.5$, Πλεόνασμα πρωτονίων

ΑΣΤΡΙΚΟΣ ΑΝΕΜΟΣ ΝΕΤΡΙΝΩΝ



S. Woosley, H.T. Janka, 2005



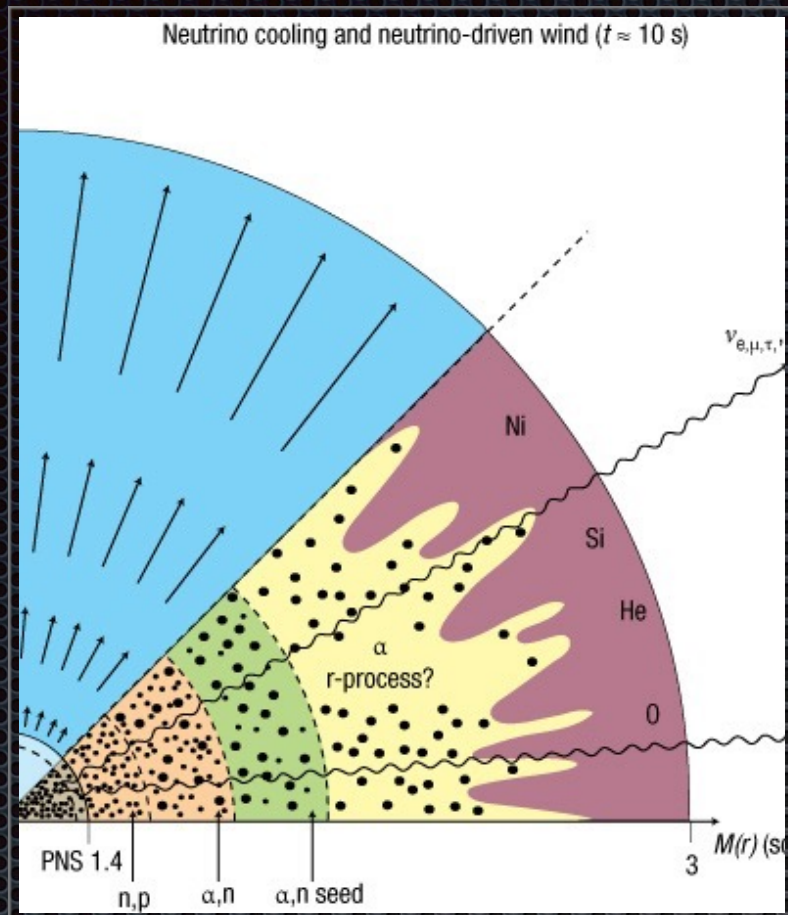
A. Arcones, and F.K Thielemann, 2013

$$Y_e \approx \left[1 + \frac{L_{\bar{\nu}_e}(\epsilon_{\bar{\nu}_e} - 2\Delta + 1.2\Delta^2/\epsilon_{\bar{\nu}_e})}{L_{\nu_e}(\epsilon_{\nu_e} + 2\Delta + 1.2\Delta^2/\epsilon_{\nu_e})} \right]^{-1}$$

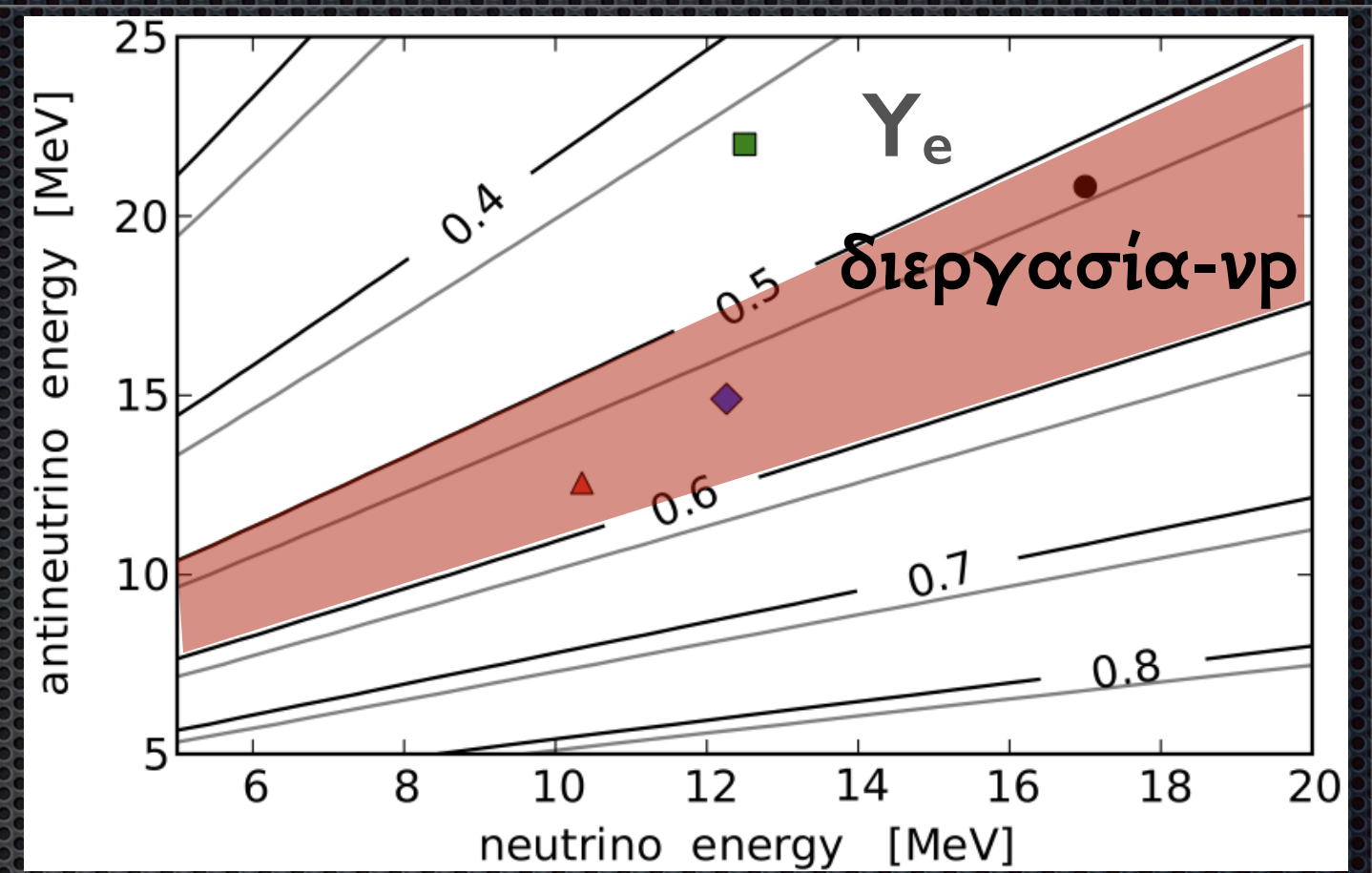
$Y_e < 0.5$, Πλεόνασμα νετρονίων

$Y_e > 0.5$, Πλεόνασμα πρωτονίων

ΑΣΤΡΙΚΟΣ ΑΝΕΜΟΣ ΝΕΤΡΙΝΩΝ



S.Woosley, H.T.Janka, 2005



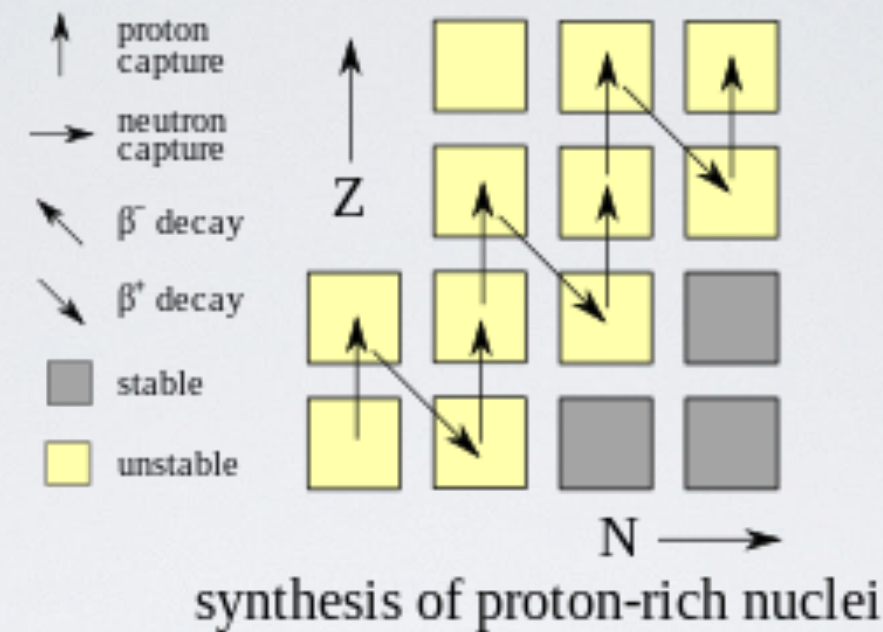
A.Arcones, and F.K.Thielemann, 2013

$$Y_e \approx \left[1 + \frac{L_{\bar{\nu}_e}(\epsilon_{\bar{\nu}_e} - 2\Delta + 1.2\Delta^2/\epsilon_{\bar{\nu}_e})}{L_{\nu_e}(\epsilon_{\nu_e} + 2\Delta + 1.2\Delta^2/\epsilon_{\nu_e})} \right]^{-1}$$

$Y_e < 0.5$, Πλεόνασμα νετρονίων

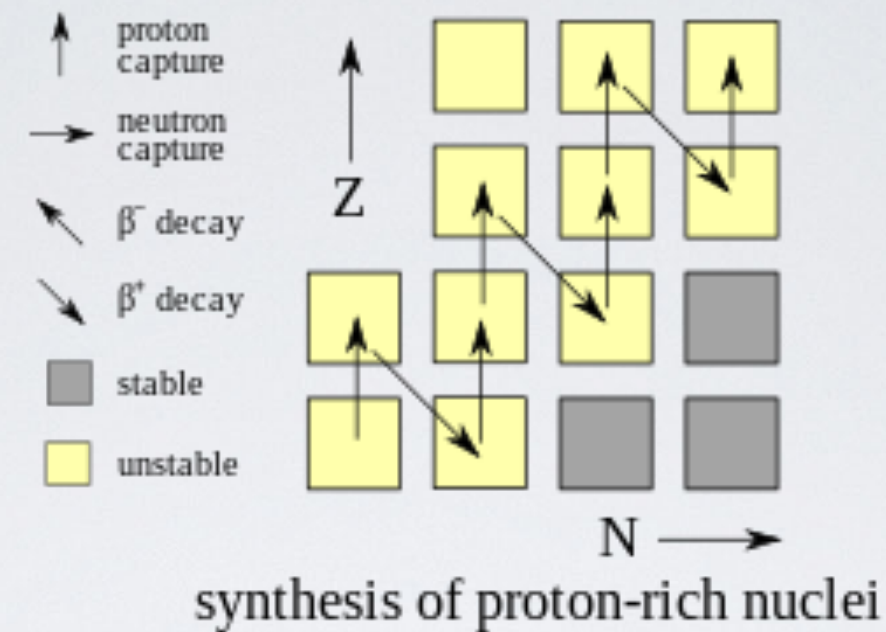
$Y_e > 0.5$, Πλεόνασμα πρωτονίων

The neutrino-p process

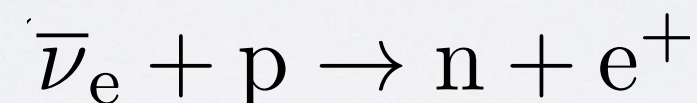


Should slow down at bottlenecks, e.g. ^{64}Ge (long beta-decay half life)

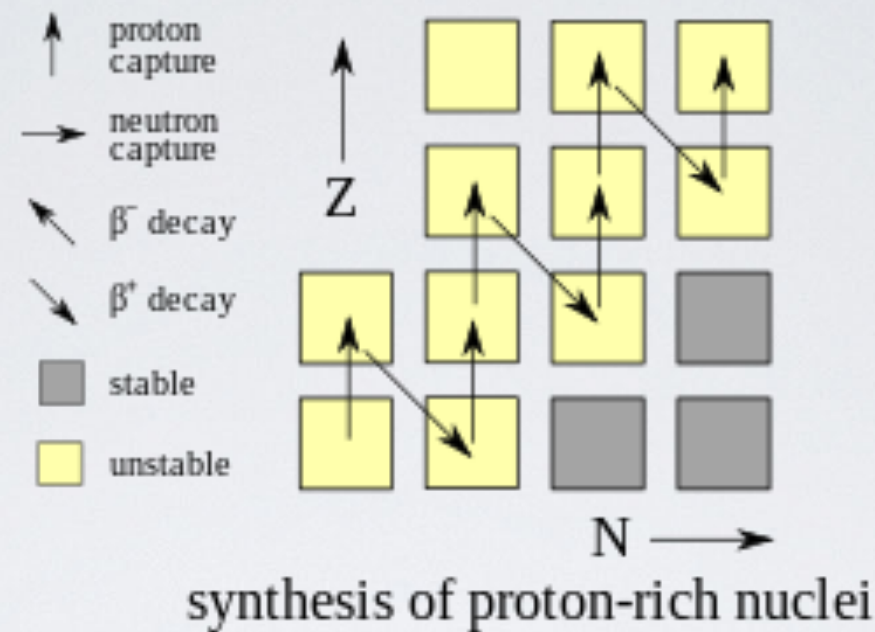
The neutrino-p process



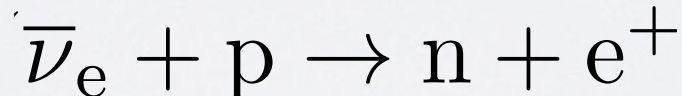
Should slow down at bottlenecks, e.g. ^{64}Ge (long beta-decay half life)



The neutrino-p process

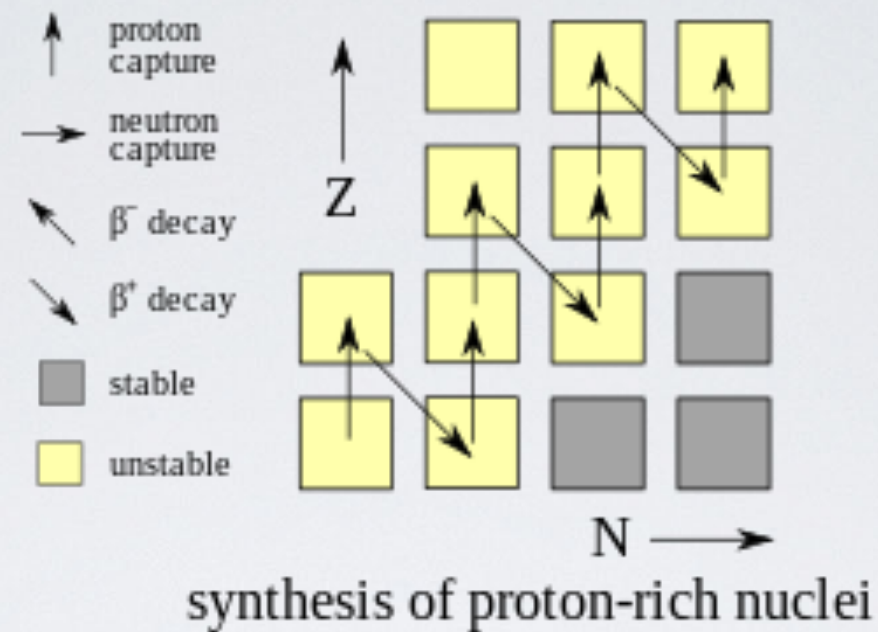


Should slow down at bottlenecks, e.g. ^{64}Ge (long beta-decay half life)



61As	62As	63As	64As	65As	66As	67As	68As	69As
60Ge	61Ge	62Ge	63Ge	64Ge	65Ge	66Ge	67Ge	68Ge
59Ga	60Ga	61Ga	62Ga	63Ga	64Ga	65Ga	66Ga	67Ga
58Zn	59Zn	60Zn	61Zn	62Zn	63Zn	64Zn	65Zn	66Zn
57Cu	58Cu	59Cu	60Cu	61Cu	62Cu	63Cu	64Cu	65Cu
56Ni	57Ni	58Ni	59Ni	60Ni	61Ni	62Ni	63Ni	64Ni

The neutrino-p process



Should slow down at bottlenecks, e.g. ^{64}Ge (long beta-decay half life)

